

БИБЛИОТЕКА
ГЕОГРАФСКОГ ИНСТИТУТА
СРПСКЕ АКАДЕМИЈЕ НАУКА
ИБр.

1006

B E O G R A D S K I U N I V E R Z I T E T

PRIRODNO-MATEMATIČKI FAKULTET



БИБЛИОТЕКА
ГЕОГРАФСКОГ ИНСТИТУТА
„ЈОВАЦИЈИЋ“
И. Број

FIZIČKE OSOBINE VETROVA U BEOGRADU

DOKTORSKA DISERTACIJA
MARKA MILOSAVLJEVIĆA
BRANJENA: 19. MAJA 1949. GODINE



ISPITNA KOMISIJA:

Pretsednik: Dr. MILUTIN MILANKOVIĆ, red. profesor
Članovi: Dr. PAVLE VUJEVIĆ, red. profesor
Dr. BORIVOJE Ž. MILOJEVIĆ, red. profesor
Dr. PETAR JOVANOVIĆ, red. profesor
Dr. SRETEN ŠLJIVIĆ, red. profesor

BEOGRAD, 1950

Doktorska disertacija
MARKA MILOSAVLJEVIĆA
branjena 19 maja 1949 godine

БИБЛИОТЕКА
ГЕОГРАФСКОГ ИНСТИТУТА
САНКТ-ПЕТЕРБУРГ
И. Број ~~108~~ 1303

I DEO

UVOD

1. Pojam o horizontalnom strujanju vazduha (o vetrū)

Pravac i brzina vetra u nekom mestu uslovjeni su nejednakom raspodejtom vazdušnog pritiska na izvesnoj teritoriji na kojoj se dotično mesto nalazi. Vazduh u horizontalnom pravcu struji uvek od predela visokog ka predelu niskog vazdušnog pritiska, tj. od anticikloma ka ciklonu. Ovo strujanje se ne vrši direktno u pravoj liniji od mesta visokog ka mestu niskog vazdušnog pritiska iz razloga što na jednu vazdušnu česticu, kod krvoliniskih izobara, dejstvuju uglavnom 4 sile koje imaju različite pravce, smerove i intenzitete. Kao što je poznato, te sile su: gradijent vazdušnog pritiska (G), devijatorna sila (D), sila trenja (R) i centrifugalna sila (C). Ako su izobare pravoliniske onda je centrifugalna sila ravna 0, tako da na pokretnu česticu vazduha dejstvuju samo tri prve sile (G , D i R).

Pod uticajem ovih sile različitih pravaca, smerova i intenziteta, vazdušne čestice se kreću po njihovoj rezultanti. Uglavnom vazdušne struje u prizemnim atmosferskim slojevima skreću na severnoj polulopti udesno od pravca gradijenta, a na južnoj polulopti uljevo.

O dejstvu napred navedenih sila na pokretne vazdušne čestice, odnosno o vazdušnom strujanju uopšte pisali su detaljno: Vujević P. (1,282—298),^{*)} Obojenski (4,320—345), Hromov (5,58—73), Hann-Süring (6,499—536) i drugi meteorološki stručnjaci.

Ako vazduh duže vremena miruje iznad nekog mesta, odnosno oblasti, on dobija izvesne fizičke osobine te oblasti (u pogledu temperature, vlage itd.). Međutim, kada je vazduh pod uticajem sile, koje smo napred naveli, primoran da se kreće u horizontalnom pravcu, on te svoje osobine manje ili više gubi i donosi oslabljene u predele u koje dolazi, odnosno preko kojih prelazi. Prema tome, horizontalna vazdušna strujanja iznad nekog mesta prouzrokuju neperiodske promene temperature, vlažnosti vazduha, oblačnosti itd, a u vezi sa ovim promenama izazivaju i izvesne meteorološke pojave kao što su kiša, sneg i dr.

^{*)} Prvi broj predstavlja redni broj u spisku literature, a brojevi posle zapete označavaju strane dotične literature.

Horizontalno kretanje, odnosno prenošenje vazdušnih masa kao nosioca svojstvenih fizičkih osobina, kao što su temperatura, sadržina vodene pare itd. nazivamo u fizici atmosfere *advekcija*, a takvo kretanje je *advektivno kretanje* (1,262).

Kada se sve ovo ima u vidu, onda se može, na osnovi proučavanja pravca i brzine vetra u nekom mestu ili oblasti, kao i proučavanjem zavisnosti ostalih meteoroloških elemenata i pojave od pravca i brzine vetra, izvršiti analiza vazdušnih masa koje prelaze preko tog mesta. Ali pre nego što predjemo na konkretnu analizu vazdušnih masa, koje prelaze preko Beograda, iznećemo neke osnovne pojmove o vazdušnim masama.

2. Vazdušne mase (opšti pojmovi)

Zbog nejednakog priliva sunčeve zračne energije na raznim geografskim širinama zemljine površine i neravnomernog zagrevanja i hladjenja kopna i mora u raznim predelima, u troposferi se formiraju *vazdušne mase* sa različitim temperaturama, vlažnošću, zamučenošću itd. Te vazdušne mase imaju horizontalno prostiranje od više hiljada kilometara i premeštaju se iz jedne oblasti u drugu u procesu velike atmosferske cirkulacije (5,162). Razdeobia troposfere u pojedinačne vazdušne mase uslovljena je samim mehanizmom njihovog kretanja. U vazdušnom kruženju postoje uvek strujanja koja se graniče jedna sa drugima, ali koja su sastavljenia od vazduha iz vrlo različitih predela, pa prema tome i sa različitim fizičkim osobinama. Ako jedna od tih struja predje u susednu, jasno je da će, pri tome, naići na oštru granicu između te dve vazdušne mase (1,355).

Dakle, svaka osnovna struja prenosi vazdušnu masu određenog porekla i osobina. Na taj se način vazdušna masa može definisati kao količina vazduha u troposferi, koja se karakteriše određenim opštim osobinama i koja dugo putuje kao jedna celina. U nekim slučajevima vazdušna masa se može dugo nalaziti iznad pojedinih geografskih predela u stanju slabog kretanja (7,166).

Kao približno jednorodna vazdušna masa smatra se ona koja ima slične osobine u horizontalnom pravcu. Svača vazdušna masa ima svoje određeno poreklo odnosno svoju istoriju života. Zato ona, pre svega, dobija određena svojstva oblasti gde se formirala i gde je duže vremena ostala nepomična. Takav se predeo zove *izvorишna oblast*; u njoj je poreklo dotične vazdušne mase. Izvorишna oblast mora biti prostrana, a njena fizička priroda i temperatura iznad zemljine površine moraju biti približno iste u celoj oblasti. Takvi su uslovi ispunjeni na tropskim morima, u pustinjskim krajevima, ili u krajevima koji su stalno pod snegom i ledom kao što su polarni krajevi.

Tri osnovna tipa izvorишne oblasti su: voda, kopno, led ili sneg. Svaka od njih ima osobena dejstva na vazduh iznad njih (1,356). Ako se iznad ovako jednorodne podloge nalazi stacionarni stabilni anticiklon, tj. oblast atmosfere sa povećanim vazdušnim pritiskom, u kojoj su slabi vetrovi i vedro vreme, tada će izvesne količine vazduha dobiti naročite osobine od svoje podloge.

Ako se na primer jedan anticiklon u toku zime duže vremena nalazi iznad Atlantskog Okeana u predelu Azorskih Ostrva, a drugi iznad kontinenta Evrazije, to će vazduh u prvom anticiklonu dobiti sasvim druge osobine, nego

u drugom. Naime, u prvom anticiklonu će se formirati masa morskog tropskog vazduha sa visokim temperaturama (karakterističnim za datu geografsku širinu u to doba godine) sa većom sadržinom vodene pare i većom količinom prašine usled blizine Sahare. U drugom anticiklonu formiraće se masa kontinentalnog polarnog (subpolarnog) vazduha, koji je hladan, suv i proziran.

Između te dve vazdušne mase ležaće prelazni sloj veće ili manje širine sa postepenom izmenom osobina na prelazu od jedne mase ka drugoj (5,162—163).

Ako je neka vazdušna masa primorana da napusti svoju izvorishnu oblast i kreće se u nekom pravcu, svi njeni delovi izlažu se tada dosta sličnim spoljnim uticajima, koji menjaju njene osobine. Prema tome, fizičke osobine vazdušne mase određuju se, prvo, *njenim poreklom*, tj. geografskim položajem izvorishne oblasti, i drugo, *njenom biografijom*, tj. onim putem kojim je ona prešla iz mesta svoga postanka. S obzirom na velike dimenzije vazdušnih masa, ne može se očekivati, da će na celom putu delovati isti uticaj na celokupnu vazdušnu masu. Ipak osobine vazdušne mase, tj. veličine njenih meteoroloških elemenata, menjaju se u horizontalnom pravcu počelo i neprekidno, ali na različite načine u raznim slučajevima (7,166—167).

3. Geografska klasifikacija vazdušnih masa

Pre nego što iznesemo današnju geografsku klasifikaciju vazdušnih masa, iznećemo neke podatke o istoriskom razvitku ove klasifikacije.

Još 1837 godine Dove je ustanovio, da se atmosfera sastoji iz različitih vazdušnih masa, odnosno strujanja, čija uzajamna smena dovodi do promene vremena (8,84). On je još tada razlikovao u atmosferi, na umerenim geografskim širinama, *polarna i ekvatorijalna strujanja*, a Fitz Roy je 1863 godine dao jasnu pretstavu o *polarnim i tropskim strujama* u troposferi (5,209).

Helmhol'tz je, godine 1888, matematički izveo dokaz da se u atmosferi mogu često nalaziti u neposrednom susjedstvu vazdušne mase koje se međusobno razlikuju kako po temperaturi i vlažnosti, tako i po pravcu i brzini strujanja. U takvom slučaju, prema njegovim dokazima, razdvajaju površina koja deli ove različite vazdušne mase, tzv. frontalna površina, nagnuta je pod nekim uglovom ka horizontu (9,329—340). Ove njegove dokaze još bolje je utvrdio Margules 1906 godine (10,243—254).

J. Bierknes i Solberg u svojim memoarima (1919—1922) takodje razlikuju samo *polarni i tropski* vazduh. Arktički vazduh dosta dugo vremena posle toga označavao se samo kao »sveži polarni« (5,209).

T. Bergeron je 1928 god. prvi uveo u naučnu literaturu pojam o *arktičkim frontovima i arktičkim vazdušnim masama*, a 1930 g. razlikuje on četiri vrste vazdušnih masa i obeležava ih latinskim slovima: *A* = arktički, *P* = subpolarni, *T* = subtropski i *E* = ekvatorijalni vazduh. Sem toga uvodi on i pojmove: *c* = kontinentalni i *m* = maritimni vazduh, prema tome da li je vazduh duže vremena proveo iznad kopna ili iznad mora (11,246—262).

Naročitu detaljnu geografsku klasifikaciju vazdušnih masa u troposferi za Srednju Evropu izradio je Schinze, a na principu opšte Beržeronove klasifikacije. Njegova klasifikacija vazdušnih masa je uglavnom sledeća (12,6):

Troposferske mase iznad Srednje Evrope

Oznake: A = arktički, P = subpolarni, T = subtropski, E = ekvatorijalni, c = kontinentalni i m = maritimni, V = vazduh

Vrsta vazduha po podeli	Istorijat uticaja (u grubim crtama)	Glavna izvorišna oblast	Glavno doba nastupanja
Geografska	Termodinamička		
AV	A hladni	mA	Grenland, Špicberg preko cele godine sa izuzetkom juli - avgust
		cA	Nova Zemlja, Bencovo More, Sev. deo SSSR-a preko cele godine
PV	P hladni	mP hladni	Severni Atlantik odnosno Kanada preko cele godine
		cP hladni	Unutrašnjost SSSR-a, Fenoškandinavija*) u hladnjim godišnjim dobima
	P toplo	mP toplo	Severni Atlantik (oko 50° s. g. š.) u hladnjim godišnjim dobima
		cP toplo	Južni deo SSSR-a, Balkansko Poluostrvo u toplige godišnje doba
TV	T toplo	mT	Subtropsko More (Azo-Sredozemno More) cele godine
		cT	Severna Afrika odnosno južni deo Balkana cele godine
EV			Termički Ekvator (stizje do Srednje Evrope samo kao antipasat) samo za vreme topljeg god doba na visinama u anticiklonskoj oblasti

Ovakvu sličnu klasifikaciju za Zapadnu Evropu i evropski deo SSSR-a uveo je 1937 godine u Sovjetsku naučnu meteorološku literaturu S. P. Hromov (5,203—205), a 1940 godine V. A. Bugaev i B. A. Dežordžio (8,94) publikovali su novu klasifikaciju vazdušnih masa koja važi za SSSR. Po toj klasifikaciji uvodi se podela polarnih vazdušnih masa na polarne vazdušne mase severne zone i polarne vazdušne mase južne zone numerenih geografskih širina.

Godine 1947 A. V. Kunic (8,96—100) daje ovaku klasifikaciju vazdušnih masa sa njihovim glavnim fizičkim osobinama:

Arktički vazduh (AV) formira se u anticiklonima, koji se nalaze blizu severnog pola. Ovaj se vazduh odlikuje niskim temperaturama na svim visinama. U vezi sa niskim temperaturama, u ovom vazduhu je mala apsolutna vлага, a relativna vлага velika. Usled toga se u ovom vazduhu mogu obrazovati

*) Geografska oblast u koju spadaju Skandinavsko i Kolsko Poluostrvo i Finska.

magla i slojeviti oblaci. Zbog nedostatka prašine, ako u njemu nešta magle, onda se on odlikuje dobrom prozračnošću. Pri proširenju AV ka jugu (na Evropski deo SSSR-a) on postepeno gubi svoju stabilnost. Ovo se naročito odnosi na morski arktički vazduh (mAV), koji se formira u oblasti između Grenlanda i Špicberga i pre nego što dođe na kontinenat Evrope mora preći dugački put iznad Norveškog Mora. Za to vreme njegovi niži slojevi se zagrevaju i ovlaže. Usled toga AV postane znatno nestabilan, i u njemu se obrazuje konvektivna oblačnost, koja iščeze pri njegovom dužem zadržavanju iznad hladnog kontinenta.

Kontinentalni arktički vazduh (cAV) dolazi iz oblasti Bencova i Karskoga Mora. Pri dolasku zimi na kontinent on ostaje stabilan i ima malu vlažnost. Ako se u njemu obrazuje anticiklon, to temperatura prizemnog vazduha spadne znatno više od prvobitne.

Zbog male vlažnosti u njemu se ne stvaraju magle u toku zime, ali u proleće i osobito u jesen, kada se on stabilizira iznad kontinenta, u njemu se stvaraju radijaciione magle.

Tropski vazduh (TV) deli se takodje na morski tropski (mTV) i kontinentalni tropski (kTV).

Morski tropski vazduh (mTV), dolazi u Zapadnu Evropu od Azorskog maksimuma. Odlikuje se visokim temperaturama, a u isto vreme i svojom stabilnošću. Naročito su visoke temperature u mTV na visini oko 1000 metara, a u nižim vazdušnim slojevima temperatura u mTV ne razlikuje se mnogo od temperature susednih vazdušnih masa morskog polarnog vazduha. Zimi su u Zapadnoj Evropi, pri dolasku ovog vazduha, osmotrene u prizemnim slojevima temperature do +12° i više, a u Ukrajini od +6° do +9°.

U svome mestu formiranja ovaj vazduh je malo stabilan, ali pri kretanju ka severu njegova stabilnost raste. U njemu se javljaju magle, slojeviti oblaci i sipeća kiša. U slučaju formiranja mTV iznad Sredozemnog Mora i njegovog proširenja u Centralnu Evropu slojeviti oblaci i magle iščezavaju pod dejstvom fenskog strujanja. Vidljivost je u ovom vazduhu umanjena.

Kontinentalni tropski vazduh (kTV) formira se uglavnom u oblasti subtropskih pustinja (Severna Afrika, Arabija), a u letnje doba i u južnom pojasu numerenih širina: u Maloj Aziji, nad Balkanskim Poluostrvom, u Srednjoj Aziji.

Dolazi na Evropski deo SSSR-a prvenstveno leti i karakteriše se isključivo visokim temperaturama, ne toliko u gornjim već u nižim slojevima, a u vezi sa tim njegova vertikalna stabilnost je smanjena. Apsolutna vлага mu je dosta velika (14—16 mm), zato se u njemu mogu obrazovati konvektivni oblaci i pljuskovite padavine.

U jesen i proleće kTV ponovo dobija svoju stabilnost i u njemu se stvaraju magle i izmaglice. Prozračnost letnjeg kTV je manja, nego prozračnost mTV, ma da se u njemu leti ne stvara često magla nego suva sumaglica.

Morski polarni vazduh (mPV) formira se u stacionarnim anticiklonima, koji se nalaze ili nad visokim širinama Atlantika (leti), ili nad Kanadom (zimi). On se zimi stvarno formira na kontinentalnim oblastima, ali kako se pri svome kretanju duže zadržava iznad Atlantskog Okeana on dobija maritimna svojstva. Pošto mPV prelazi preko tople Goltske struje on postaje veoma vlažan i zagreva se u nižim slojevima. U vezi sa jakim zagrevanjem nižih vazdušnih slojeva prizemna temperatura mPV je dosta bliska temperaturi mTV.

Zagrevanje nižih slojeva mPV, kao i porast vlažnosti izaziva u toku zime izraziti labilitet. Prema tome se u Zapadnoj Evropi i osobito u severozapadnom delu, gde preovladjuje mPV, često zimi javljaju nepogode. Usled takvog stanja, pri upadu mPV u Centralnu Evropu, zimi se primećuje povišenje temperature u prizemlju, ali na visinama na pojedinim visinskim stanicama, često se osmatra opadanje temperature.

Ponekada mPV dolazi u Evropu kao stabilna masa. To se dogodja kada se ona duže zadržava iznad okeana, naročito pri kretanju daleko na jug i onda tek prelazi u Evropu gde skreće prema severu, usled čega se u ovoj vazdušnoj masi povećava stabilnost. Tačav mPV naziva se *povratnūm* mPV i njegove fizičke osobine se približavaju mTV.

Kontinentalni polarni vazduh (kPV) formira se u kontinentalnim anticiklonima koji se obrazuju iznad teritorije SSSR-a. Ovakvi anticikloni nalaze se zimi iznad Sibira i njihovi ogranci mogu zahvatiti celokupan Evropski deo SSSR-a, a takodje i Centralnu Evropu. Formiranje kPV moguće je i nad Fenskandinavijom, gde se zimi često nalazi anticiklon.

Osobine kPV se veoma jako menjaju od zime ka letu; u toku zime ovaj vazduh se ne razlikuje mnogo od AV, a u toku leta se ne razlikuje od kTV, naročito u svojim prizemnim slojevima.

Zimi se kPV odlikuje veoma niskim temperaturama u niskim slojevima i razvitkom jakih inverzija. Temperatura u ovom vazduhu može biti znatno niža od prizemne temperature u AV. Ali je u slobodnoj atmosferi, iznad inverzionog sloja, kPV znatno topliji, nego AV. Najniže temperature na zemljinoj površini osmotrene su tada, kada kPV predstavlja ramiju AV transformisan u kPV u kontinentalnom anticiklonu.

Apsolutna vлага ovoga vazduha je mala, relativna vлага velika. U dužini kontinenta mogu se obrazovati radijacione magle.

U toku leta se kPV formira u oblasti slabo povišenog pritiska u anticiklonima, koji se obrazuju nad Evrazijom. Temperatura njegovog nižeg sloja je veoma visoka i malo se razlikuje od temperature kTV. Na visini je njegova temperatura znatno niža od temperature TV. Prema tome je kPV dosta nestabilan, osobito u prvoj polovini leta, kada on postaje sve topliji. Ali u Centralnoj Evropi kPV, s obzirom da dolazi sa veoma zagrejane površine jugoistočne Evrope, obično se javlja kao stabilna masa. U njemu se javljaju prvenstveno gomilasti oblaci lelog vremena i veoma retko se obrazuju slabe nepogode.

4. Brojne vrednosti meteoroloških elemenata pojedinih vazdušnih masa

Šince je (8,101—102) na osnovi velikog broja prizemnih i aeroloških mera (1929—1931) odredio za Centralnu Evropu izvesne meteorološke elemente koje ćemo izneti u tablici I (str. 9).

Brojne vrednosti meteoroloških elemenata za PV su dosta promenljive, ali ipak kolebaju u granicama između vrednosti za AV i TV, i zato Šince za njih nije dao nikakve pregledne tablice.

*

Da bi se stvarne fizičke osobine pojedinih vazdušnih masa koje dolaze, odnosno prelaze preko Beograda zaista ustanovile, obradjeni su neki meteorološki elementi Meteorološke observatorije u Beogradu za period 1920—1945 godine. Na osnovi njih će se moći izvršiti analiza vazdušnih masa koje struje

preko Beograda, odnosno odrediti fizičke osobine vetrova iz raznih pravaca. U obzir su uzeti sledeći meteorološki elementi: pravac i brzina veta, temperatura vazduha, pritisak vodene pare, relativna vлага vazduha i oblačnost. Ovi elementi obradjeni su tako što su im odredjene srednje vrednosti za svaki

I — Meteorološki elementi vazdušnih masa Centralne Evrope po podacima Šincea

Vazdušna masa	I	II	III	IV	V	VI	VII	VIII	IX	X	XI	XII
Srednja temperatura prizemnog vazduha												
AV	-2,3	-4,4	-0,3	1,9	6,0	9,5	—	—	11,3	6,3	3,6	-1,1
TV	14,0	13,6	14,0	14,9	19,0	20,3	20,1	20,8	19,9	18,4	15,0	12,7
Napon vodene pare (apsolutna vлага) u mm*												
AV	3,4	2,8	3,4	4,2	5,5	6,6	—	—	8,0	5,6	4,7	3,6
TV	8,0	8,5	8,4	9,4	11,3	12,5	14,0	13,5	12,9	10,6	8,6	8,9
Relativna vлага u %												
AV	87	85	78	80	74	74	—	—	80	78	79	85
TV	67	73	70	74	69	70	79	73	74	67	67	81

pojedini pravac veta, kao i za sve slučajevе kada je vreme pri terminskom osmatranju bilo tiho. Na taj način su, sem ruže vetrova, dobivene i ruže temperature (termičke ruže), pritiska vodene pare i relativne vlage (atmičke) i oblačnosti (nefičke).

Sem meteoroloških elemenata obradjene su, u vezi sa pravcima vetra, još i čestine pojedinih meteoroloških pojava, koje su bile u pojedinim časovima terminskih osmatranja (od 7,14 i 21 čas). Te pojave su: padanje kiše, padanje snega, magla i druge.

Meteorološke elemente i meteorološke pojave za Beograd obradili smo iz razloga, što nam je bio cilj da na raspolaženju imamo što duži period neprekidnih osmatranja, a sem toga i što se u tačnost meteoroloških podataka za Beograd može imati najviše poverenja, pošto su ti podaci objavljeni od strane Meteorološke observatorije u Beogradu (13). Pored toga, Beograd ima i pogodan geografski položaj za ovakva proučavanja, jer se nalazi na takvom mestu preko koga se, kao što ćemo dalje videti, vrše naročita karakteristična vazdušna strujanja.

*) Kunić definiše napon vodene pare kao apsolutnu vlagu.

II DEO

METEOROLOŠKI ELEMENTI

1. Pravac i brzina vetrova u Beogradu

Da bi se mogli proučiti napred navedeni meteorološki elementi u vezi sa pravcima vetrova, prikazaćemo na prvom mestu čestinu a zatim srednju i srednju maksimalnu brzinu i najzad apsolutnu maksimalnu brzinu vetrova u Beogradu.

Pri određivanju čestine (učestanosti) i brzine vetrova iz raznih pravaca uzeta su u obzir 3 dnevna meteorološka osmatranja u 7, 14 i 21 čas po lokalnom vremenu za period od 1920—1945 godine. Čestine vetrova izražene su u promilima (%) gde je ukupan zbir osmatranja vetrova iz svih pravaca i tišina, za svih 26 godina (28491) uzet kao 1000%. Na taj način izbegнута је nejednakost pojedinih meseci, npr. meseca februara i meseci sa 30 odnosno 31 danom.

U tablici 1 date su vrednosti čestine vetrova i tišina u promilima za svih 12 meseci, za godinu i najzad za pojedina godišnja doba.

Iz tablice 1 se vidi, da se od januara do maja i od septembra do decembra meseca najviše javlja jugoistočni vetar (SE) koji je poznat pod imenom *košava* ako dobije olujni karakter; u narodu se ovaj vetar naziva košavom i kad nema olujni karakter. Sledeci pravac po veličini učestanosti od januara do marta i od oktobra do decembra jeste istok-jugoistok (ESE) koji pripada takodje košavskom vetrusu. Prema tome, košava u Beogradu ima dve komponente i to ESE i SE. Komponenta SE je izrazitija u svima mesecima, pa naravno i u srednjim godišnjim vrednostima.

Ako se uzmu prosti zbirovi čestina vetrova u pojedinim mesecima za pravce ESE i SE dobiće se ovakve vrednosti:

II — Zbir čestina pravaca vetrova iz ESE, i SE, u %.

Meseci	I	II	III	IV	V	VI	VII	VIII	IX	X	XI	XII
%	289	265	275	218	180	103	94	140	214	263	357	322

Ovi zbirovi nam pokazuju, da se košava javlja najviše puta u novembru, zatim u decembru, a na trećem mestu dolazi januar.

Pravac vetra koji se često javlja u letnjim mesecima (od maja do avgusta) jeste zapad (W), a zatim severozapad (NW).

Ako se sada uzme zbir čestina vetrova sa jedne strane za pravce od E do SE, a sa druge strane za pravce od W do NW, tj. za suprotne oktante imaće se brojne vrednosti prikazane na tablici III na strani 12.

Maksimum čestine pravca vetra iz E do SE je u novembru (385%), a minimum u julu (108%). Od novembarskog maksimuma brojne vrednosti

Tablica I

Čestina pravaca vetrova i tišina u Beogradu za period 1920—1945 g., u %

	N	NNE	NE	E	ESE	SE	SSE	S	SSW	SW	WSW	NNW	NW
I	35	10	7	8	21	141	148	23	26	7	14	31	97
II	39	9	10	10	28	125	140	30	32	5	18	33	118
III	43	9	12	5	31	113	162	35	49	14	27	19	98
IV	40	18	21	3	26	63	155	38	48	19	27	28	100
V	38	14	16	5	18	54	126	19	29	10	26	39	126
VI	47	20	19	7	17	31	72	14	33	11	41	31	128
VII	41	12	20	4	14	21	73	13	24	6	23	37	137
VIII	41	9	26	4	26	38	102	11	13	6	22	31	118
IX	32	15	17	4	29	82	132	23	23	7	19	28	101
X	26	12	17	3	35	95	168	30	32	7	18	27	85
XI	26	8	9	4	28	162	195	34	23	13	15	15	82
XII	31	9	11	6	36	140	182	20	19	4	22	16	96
God.	37	12	15	5	26	89	138	24	29	9	23	28	107

	Zima	Proleće	Leto	Jesen
Zima	35	9	9	9
Proleće	40	14	16	14
Leto	43	14	21	14
Jesen	28	12	14	14

Primedita: Pravci vetrova u ovom radu označeni su međunarodnim označenjima, a C predstavlja tišinu (Calme).

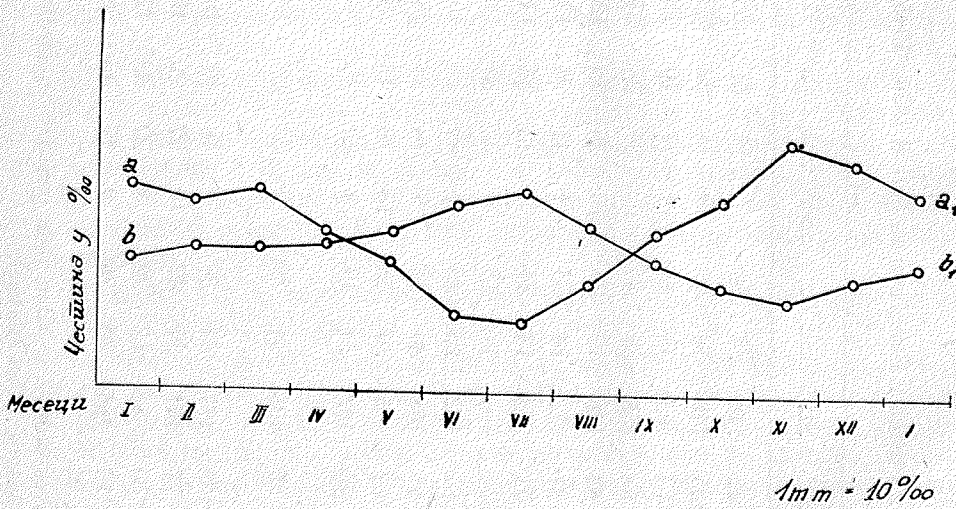
čestine opadaju prema julkom minimumu u svima mesecima sem u martu koji ima veći broj čestina (306^{0/00}) od februara (293^{0/00}).

Što se tiče vetrova iz W do NW njihov maksimalni broj čestina je u julu (303%), a minimalni u novembru (159%); dakle, sasvim obrnut tok od vetrova iz E do SE. Inače, godišnji tok čestina kod vetrova iz W do NW je sasvim pravilan, tj. brojne vrednosti opadaju od julkog maksimuma do novembarskog minimuma, a zatim opet rastu do jula.

III — Zbir čestina pravaca vetrova iz E do SE i W do NW oktanta, u %/00.

Meseci Oktanti	I	II	III	IV	V	VI	VII	VIII	IX	X	XI	XII	godina
E do SE	310	293	306	244	198	120	108	166	243	298	385	358	253
W do NW	199	216	217	224	245	284	303	252	202	162	159	178	220

Ova karakteristična učestanost vetrova iz ovih suprotnih oktanata prikazana je i grafički na sl. 1.



Sl. 1 — Čestine veta iz E do SE oktanta (aa₁) i W do NW oktanta (bb₁)

Najzad se iz tablice 1 vidi i to, da Beograd ima vrlo veliku čestinu tišina. Naročito je veliki broj tišina u letnjim mesecima julu (380^{0/00}) i avgustu (383^{0/00}), dok je znatno manji u proletnjim mesecima marta (236^{0/00}) i aprila (267^{0/00}).

Ovakav raspored strujanja i tišina uslovljen je opštom izobarskom situacijom, odnosno rasporedom i kretanjem ciklona i anticiklona ne samo iznad našeg kontinenta nego i izvan njegovih granica.

Sem čestina vetrova iz raznih pravaca, potrebno je još dati podatke i o njihovoj brzini, kako bi se moglo izvršiti upoređenje jednih i drugih vrednosti. Radi toga su brzine veta prikazane u tablicama 2, 3 i 4.

Brzine veta u Beogradu osmatrane su po Boforovo skali za period od 1920 do 1924 i od 1931 do 1945 godine, a za period od 1925 do 1930 godine brzine su merene u m/s. Takve vrednosti objavljene su u zvaničnim publikacijama Meteorološke opservatorije (13). Međutim su u ovom radu, brzine veta za sve godine prevedene u m/s. Prevodjenje jačine veta sa Boforove skale na m/s izvršeno je prema rezoluciji Medjunarodnog meteorološkog komiteta od jula meseca 1946 godine.*)

Tablica 2

Srednja brzina vetrova u Beogradu za period 1920—1945 god., u m/sek.

(N)	NNE	NE	ENE (E)	ESE	SE SSE (S)	SSW SW WSW (W)	NNW	
I	2,1	2,0	1,3	3,1	2,7	3,5	2,2	2,8
II	2,3	1,8	1,6	2,7	3,0	4,0	2,0	3,2
III	2,7	2,4	2,0	2,1	2,2	5,8	3,9	2,9
IV	3,0	2,2	1,9	2,0	2,5	4,0	3,5	3,0
V	1,5	2,4	2,4	2,3	2,3	4,4	3,3	2,4
VI	2,1	2,2	2,5	2,3	2,0	2,5	2,8	2,4
VII	1,9	2,5	1,8	1,7	2,2	2,4	2,2	2,4
VIII	1,8	1,9	2,0	1,3	2,0	3,0	2,3	2,6
IX	2,3	2,0	1,3	2,3	2,2	3,5	3,0	2,5
X	2,1	1,9	1,8	1,5	2,5	4,6	3,2	2,0
XI	1,7	1,6	2,2	2,2	3,7	5,2	3,5	1,7
XII	1,7	2,1	1,8	2,1	2,9	5,2	3,7	1,8
God.	2,1	2,1	1,9	2,1	2,5	4,2	3,2	2,6
Zima	2,0	2,0	1,6	2,6	2,9	5,1	3,6	2,9
Proleće	2,4	2,3	2,1	2,1	2,3	4,7	3,6	2,8
Leto	1,9	2,2	2,1	1,8	1,9	2,6	2,3	2,5
Jesen	2,0	1,8	1,8	2,0	2,8	4,4	3,2	2,3

*.) Résolutions du Comité météorologique international 29 me Session de l'Organisation météorologique internationale, Résolution I (CSWI LIV) (Paris, juillet, 1946).

Tabela 3
Srednja maksimalna brzina vetrova u Beogradu za period 1920—1945 god., u m/sek.

	N	NNE	NE	E	ESE	SE	SSE	S	SSW	SW	WSW	W	NNW			
I	3,1	2,2	1,4	5,3	4,3	11,9	8,9	4,9	3,0	2,7	2,3	2,8	3,3	2,6	3,9	4,1
II	4,6	2,2	1,7	3,6	5,3	10,7	8,8	6,1	3,1	2,6	2,3	2,8	3,6	3,0	3,9	4,7
III	4,5	3,1	2,4	2,8	3,9	12,0	9,5	3,1	4,5	4,0	3,1	2,1	5,1	4,2	5,4	5,4
IV	3,7	2,6	2,4	3,0	4,8	7,9	16,1	6,0	3,7	2,5	3,6	3,2	4,7	4,2	4,5	4,3
V	2,7	3,4	2,9	2,8	3,2	7,9	7,3	5,2	2,7	2,1	3,5	3,4	5,2	3,6	4,4	3,6
VI	3,4	2,8	3,2	2,9	2,8	4,3	4,6	3,3	2,3	2,6	3,2	3,1	4,7	4,2	4,7	3,9
VII	3,2	3,2	2,6	1,8	2,5	2,6	4,9	2,5	2,4	1,5	2,8	3,7	5,3	4,6	4,9	3,8
VIII	2,7	2,1	2,7	1,3	2,7	5,5	5,0	2,8	3,0	2,5	2,3	3,0	5,3	4,3	5,2	4,1
IX	3,8	2,8	1,5	2,8	3,7	6,9	6,7	5,1	2,6	2,2	2,4	3,1	4,2	3,1	4,6	4,3
X	3,4	2,5	2,4	1,6	4,2	9,3	8,8	5,7	3,5	3,3	2,0	2,5	4,2	3,4	4,3	2,5
XI	2,7	2,0	3,2	2,3	5,1	11,8	10,6	6,6	3,5	4,0	2,0	2,7	4,5	3,1	3,8	1,9
XII	2,5	3,0	2,0	2,3	4,8	10,6	10,9	5,1	3,7	2,5	2,1	2,0	3,2	2,2	3,3	3,7
God.	3,4	2,7	2,4	2,7	3,9	8,4	8,3	4,9	3,2	2,7	2,6	2,9	4,4	3,6	4,4	3,9
Zima	3,4	2,5	1,7	3,7	4,8	11,1	9,6	5,3	3,3	2,6	2,2	2,5	3,4	2,9	3,7	4,2
Proleće	3,6	3,0	2,6	2,9	4,0	9,3	9,0	5,8	3,6	2,9	3,4	2,9	5,0	4,0	4,9	4,4
Leto	3,1	2,7	2,8	2,0	2,7	4,1	4,8	2,9	2,6	2,2	2,8	3,3	5,1	4,4	4,9	3,9
Jesen	3,3	2,4	2,4	2,2	4,3	9,3	8,7	5,8	3,2	3,2	2,1	2,8	4,3	3,2	4,2	2,9

Iz tablice 2 izlazi da najveće srednje brzine vetra skoro u svima mesećima padaju na ESE, tj. na košavsku komponentu vetra. Isto tako su dosta velike brzine vetra i kod druge košavske komponente tj. kod SE pravca. Pada u oči da košavska komponenta ESE, iako ima manju godišnju čestinu (89%/^{oo}) od komponente SE (138%/^{oo}), ipak ima veću srednju godišnju brzinu (4,2 m/s).

Ako se uporede srednje brzine vetra iz E do SE pravca sa srednjim brzinama suprotnih pravaca tj. W do NW dobiće se vrednosti prikazane na tablici IV na strani 15.

IV — Srednje brzine vetrova iz E do SE i W do NW oktanta u m/s.

Oktanti \ Meseci	Meseci											
	I	II	III	IV	V	VI	VII	VIII	IX	X	XI	XII
E do SE	3,8	3,7	4,0	3,3	3,3	2,3	2,1	2,4	2,9	3,4	4,1	3,9
W do NW	2,0	1,8	2,3	2,2	2,2	2,2	2,2	2,2	2,2	2,1	2,0	1,8
razlika	1,8	1,9	1,7	1,1	1,1	0,1	-0,1	0,2	0,8	1,2	2,1	2,1

Tabela 4

Apsolutne maksimalne brzine vetrova u Beogradu za period 1920—1945 god., u m/sek.

	N	NNE	NE	E	ESE	SE	SSE	S	SSW	SW	WSW	W	NNW			
I	9,3	4,4	3,0	22,0	20,0	22,0	25,0	15,0	6,7	6,7	4,4	6,7	9,3	12,3		
II	12,3	4,4	3,0	16,0	18,9	18,9	21,0	14,0	11,0	6,0	4,4	6,7	9,3	12,3		
III	15,5	6,0	4,4	6,7	15,5	24,0	22,0	18,0	9,3	12,3	6,7	4,4	18,9	9,3	15,5	
IV	12,2	6,7	6,7	9,3	12,3	19,0	22,6	15,5	12,3	6,0	9,3	6,7	9,3	15,5	12,3	
V	9,3	6,7	12,3	7,0	9,3	16,0	24,0	9,3	5,0	4,4	9,3	9,3	12,3	15,5	8,0	
VI	6,7	6,0	6,7	6,7	7,0	9,3	9,3	6,7	4,4	6,7	12,3	15,5	12,3	18,9	6,7	
VII	9,3	9,3	6,0	2,4	4,4	6,7	12,3	7,0	4,4	4,0	12,3	9,3	18,9	15,5	12,3	7,0
VIII	6,7	4,4	6,7	2,4	6,7	12,3	9,3	6,7	12,3	5,0	6,7	6,7	12,3	14,0	10,9	
IX	19,9	8,0	3,0	4,4	15,5	14,0	12,3	12,3	6,7	6,7	9,3	12,3	9,3	18,9	12,3	
X	12,3	4,4	8,0	2,4	15,5	22,6	18,9	16,0	9,3	7,0	4,4	6,7	12,3	9,3	6,0	
XI	12,3	2,4	9,3	8,0	12,3	25,0	27,0	20,0	12,3	9,3	4,4	6,7	18,9	8,0	15,5	
XII	6,7	18,9	4,4	5,0	15,5	27,0	22,6	15,5	14,0	4,4	6,7	6,7	6,7	12,3	18,9	
God.	18,9	18,9	12,3	22,0	20,0	27,0	27,0	20,0	14,0	12,3	15,5	18,9	22,6	15,5	18,9	
Zima	12,3	18,9	4,4	22,0	20,0	27,0	25,0	15,5	14,0	6,7	6,7	9,3	14,0	12,3	12,3	
Proleće	15,5	6,7	12,3	9,3	15,5	24,0	24,0	18,0	12,3	12,3	9,3	18,9	22,6	15,5	12,3	
Leto	9,3	9,3	6,7	6,7	7,0	12,3	12,3	7,0	12,3	6,7	12,3	15,5	18,9	12,3	10,0	
Jesen	18,9	8,0	9,3	8,0	15,5	25,0	27,0	20,0	12,3	9,3	6,7	9,3	18,9	12,3	15,5	

Ovi podaci nam pokazuju da je najveća srednja brzina vетра iz E do SE oktanta u novembru mesecu (4,1 m/s), tj. u istom mesecu kada je i maksimum ćestine pravca vетра. Posle novembra dolazi mart sa brzinom od 4,0 m/s. To znači da košava ima veću brzinu krajem jeseni i početkom proleća nego u toku zime. Najmanja srednja brzina iz ovog oktanta jeste u mesecu julu (2,1 m/s), tj. takodje u mesecu u kome je i najmanji broj ćestina pravca.

Iz oktanta W do NW srednje brzine vетра preko cele godine ne razlikuju se mnogo jedne od drugih. One variraju od 1,8 m/s do 2,3 m/s.

Ako se međusobno uporede srednje brzine oba suprotna oktanta vidi se, da su brzine veće iz oktanta E do SE od brzina iz oktanta W do NW, i to u svim mesecima sem meseca jula. Razlika između ovih brzina je najveća u novembru i decembru (2,1), zatim se postepeno smanjuje sve do jula gde ima najmanju i to negativnu vrednost, a u dočnjim mesecima se povećava.

Još jedna karakteristična pojавa se može zapaziti u tablici 2, kod srednjih brzina za godišnja doba. Naime, počev od pravca ENE do S srednje brzine vетра smanjuju se od zime prema letu, a zatim opet povećavaju prema jeseni i zimi. Razlike su naročito izrazite kod ESE. Inače kod mnogih pravaca kao što su: N do NE, SSW, SW, W i NW najveće srednje vrednosti su u proleće.

Ovo nastaje iz sledećih razloga:

Strujanje vazdušnih masa kako iznad Beograda tako i iznad Srednje Evrope prouzrokovano je rasporedom aktivnih centara visokog i niskog vazdušnog pritiska. Ti aktivni centri su sa jedne strane Sibirski maksimum i Sredozemna depresija, a sa druge strane Azorski maksimum i Islandska depresija.

Sibirski maksimum i Sredozemna depresija su sezonske pojave koje se pojavljuju zimi u vrlo izrazitom obliku, tj. barometarski gradijent kod njih je dosta veliki. Međutim, Azorski maksimum i Islandska depresija su permanentne pojave sa manjim barometarskim gradijentom. Iz toga razloga i dolazi do toga, da su istočni vetrovi, koji su prouzrokovani Sibirskim maksimumom i Sredozemnom depresijom, zimi jači nego leti, kada ovi akcioni centri tako reći iščeznu. Kod vetrova od SSW do N pravca ova pojавa ne postoji.

Ako se uzmu u razmatranje srednje maksimalne brzine vetrova iz tablice 3 videće se slični odnosi kao što su i u tablici 2. I ovde najveće brzine padaju na košavski vетар (ESE i SE) u svim mesecima sem juna i jula. Srednje maksimalne brzine za najčešće vetrove tj. za suprotne oktante E do SE i W do NW biće:

V — Srednje maksimalne brzine vetrova iz E do SE i W do NW oktanta, u m/s

Meseci \ Oktanti	I	II	III	IV	V	VI	VII	VIII	IX	X	XI	XII
E do SE	8,4	8,3	8,5	7,6	6,1	8,9	3,3	4,4	5,8	7,4	9,2	8,8
W do NW	3,6	3,5	4,9	4,6	4,4	4,5	4,9	4,9	4,0	4,0	3,8	2,9
Razlika	4,8	4,8	3,6	3,0	1,7	-0,6	-1,6	-0,5	1,5	3,4	5,4	5,9

Najveća vrednost srednje maksimalne brzine (9,2 m/s) iz oktanta E do SE takodje pada na novembar, a najmanja na juli, što se podudara sa godi-

šnjim tokom srednje brzine ovog oktanta (v. tabl. IV). Čak i ovde je u martu srednja maksimalna brzina veća od srednje maksimalne brzine u februaru, što odgovara takodje vrednostima u tablici IV. Naročito pada u oči dosta velika razlika između novembarskog maksimuma i julkog minimuma koja iznosi 5,9, dakle skoro tri puta veća razlika nego što je kod srednje brzine između novembra i jula.

Iz oktanta W do NW srednje maksimalne brzine ne razlikuju se takodje mnogo preko cele godine. Najveća brzina je u julu i avgustu (4,9 m/s), a sem toga i u martu, a najmanja u decembru (2,9 m/s). Razlika između maksimalne i minimalne vrednosti iznosi 2,0 a to je tri puta manje nego iz oktanta E do SE.

Razlike između srednjih maksimalnih brzina iz ovih suprotnih oktanata u pojedinim mesecima imaju sličan godišnji tok kao i u tablici IV. Najveća razlika je u decembru (5,9), a najmanja u julu (-1,6). Od decembra do jula se razlike smanjuju, a zatim se od jula do decembra opet povećavaju.

Apsolutne maksimalne brzine vetrova prikazane su u tablici 4. Najveća osmotrena brzina vетра pri košavi bila je 27,0 m/s, a pri WNW pravcu 22,6 m/s. Moramo odmah napomenuti da su ove vrednosti brzine vетра osmotrene u jednom od terminskih osmatranja, što znači da je između terminskih časova osmatranja moglo biti i većih apsolutnih brzina vetrova.

Ćestine i srednje brzine vetrova iz pojedinih pravaca kako za godinu tako i za sva četiri godišnja doba prikazane su grafički na slikama 2, 3, 4, 5 i 6. (Vidi slike na kraju knjige.)

Ćestine vetrova iz pojedinih pravaca unete su na ovim crtežima kao dužine na poluprečnicima za svaki pojedini pravac vетра, dok su ćestine tišina u % upisane u malim krugovima. Dužine koje predstavljaju ćestine pravaca vetrova nisu uzete od centra već od periferije maloga kruga, i to tako da 1 mm na svakom poluprečniku predstavlja 1%. Prema tome, ove slike pokazuju kako vetrovi iz raznih pravaca duvaju prema središtu kruga odnosno prema Beogradu, kao što je to označeno i strelicama. Krajevi susednih poluprečnika ćestina pravaca vetrova povezani su međusobno pravim linijama.

Srednje brzine vetrova za svaki odgovarajući pravac namete su u produženju poluprečnika za ćestine. One su ucrtane tako da dužina od 4 mm na slici predstavlja brzinu vетра od 1 m/s. Pravim linijama su povezani i krajevi produženja poluprečnika koji predstavljaju brzine vетra. Prostor između ovih pravih linija je pocrnen (išrafiran). Na taj način išrafirani četvorougaoNICI pretstavljaju brzinu vетra na azimutalnom rastojanju od 22,5°.

Uporedjenje dobivenih rezultata sa do sada objavljenim rezultatima.

О ćestini i brzini vetrova u Beogradu pisali su ranije profesor P. Vujević (2, 106—112; 1, 270—273) i Dr. Petar Sergijevski (14). Mi ćemo ove objavljene podatke uporediti sa našim dobivenim podacima koje smo napred izneli.

	N	NE	E	SE	S	SW	W	NW	C
Zima	4,7	2,4	10,5	26,8	5,1	4,9	15,1	10,1	20,4%
Proleće	6,0	8,0	7,6	26,8	6,2	4,9	14,7	11,6	19,2
Leto	7,2	3,3	4,9	13,0	4,6	6,3	20,7	15,5	24,5
Jesen	5,0	2,3	8,7	28,7	5,8	3,7	13,3	9,4	23,1

a) Profesor P. Vujević u svome radu »Podneblje Beograda« (2) izneo je čestinu vetrova i tišina u Beogradu za period od 45 godina za pojedina godišnja doba. On je pravce vetrova sveo na 8 glavnih pravaca, a čestine pojedinih pravaca i tišine prikazao je u procentima, i one imaju vrednosti na strani 17 pri dnu.

Medjutim, ako iz tablice 1 uzmememo čestinu vetrova takođe po godišnjim dobima svedenu na 8 glavnih pravaca i izraženu u procentima imaćemo ovake vrednosti:

	N	NE	E	SE	S	SW	W	NW	C
Zima	5,1	1,7	9,9	23,7	4,1	3,3	13,5	8,8	29,9%
Proleće	6,0	2,5	6,5	20,2	6,4	4,8	14,3	11,4	27,9
Leto	6,6	3,1	3,6	10,4	3,3	4,9	17,3	14,0	36,8
Jesen	4,1	2,2	8,9	23,7	4,5	3,2	11,6	7,8	3,40

Uporedjenjem jednih i drugih podataka primećuju se kod pojedinih pravaca osetne razlike. Naročito su ove razlike velike kod tišine. Po našim podacima, čestine tišina su u svima godišnjim dobima veće za oko 10% nego kod Vujevića i imaju maksimalne vrednosti u odnosu na pravce vetrova. To znači da se u Beogradu najviše javljaju tišine, naročito leti (36,8%), a zatim dolazi košava (u zimi, proleću i u jeseni) pa onda zapadni i severozapadni vetrovi. Po Vujevićevim podacima se najviše javlja košava, a zatim dolaze tišine itd.

Ova razlika dolazi otuda što su uzeti drugi vremenski periodi. Vujević je uzeo podatke za period od 1897 do 1932 sa nekim prekidom 1914/15 i 1918/19 god. a naši su podaci homogeni od 1920—1945 god.

b) Profesor P. Vujević u svojoj knjizi »Meteorologija« (1) na strani 270 prikazuje čestinu vetrova i tišina u Beogradu u periodu 1921 do 1940, za mesece januar i juli. Te vrednosti u promilima iznose:

	N	NNE	NE	ENE	E	ESE	SE	SSE	S	SSW	SW	WSW	W	WW	NW	NNW	C
Januar	29	11	6	11	25	146	139	22	25	5	13	29	92	87	64	21	325
Juli	35	13	22	5	15	22	65	12	23	6	26	41	127	82	94	28	384

Medjutim po našem proračunu podaci iz tablice 1 za ove iste mesece imaju sledeće brojne vrednosti:

	N	NNE	NE	ENE	E	ESE	SE	SSE	S	SSW	SW	WSW	W	WW	NW	NNW	C
Januar	35	10	7	8	21	141	148	23	26	7	14	31	97	36	66	26	304
Juli	41	12	20	4	14	21	73	13	24	6	23	37	187	68	98	29	380

Uporedjenjem ovih vrednosti vidi se da su razlike izmedju naših podataka i profesora Vujevića dosta male a da se kod pojedinih pravaca sasvim podudaraju. Te male razlike su opet posledica nejednakih vremenskih perioda za koje su podaci obradjeni.

Isto tako profesor P. Vujević u svojoj knjizi (1) na strani 272 iznosi srednje brzine vetrova iz šesnaest pravaca u Beogradu za mesece januar i juli, koje u m/s imaju vrednosti:

	N	NNE	NE	ENE	E	ESE	SE	SSE	S	SSW	SW	WSW	W	WW	NW	NNW
Januar	2,0	1,8	1,6	5,0	4,7	6,0	4,5	3,8	1,9	2,6	1,9	2,5	2,0	2,2	2,1	2,9
Juli	1,9	2,7	2,0	1,7	1,9	2,2	2,2	2,4	1,5	1,4	1,9	2,1	2,1	2,6	2,5	2,6

Srednje brzine po našem proračunu iz tablice 2 za ove iste mesece su sledeće:

	N	NNE	NE	ENE	E	ESE	SE	SSE	S	SSW	SW	WSW	W	WW	NW	NNW
Januar	2,1	2,0	1,3	3,1	2,7	5,4	3,5	3,4	2,2	2,5	1,7	1,9	1,6	2,2	2,1	2,8
Juli	1,9	2,5	1,8	1,7	1,7	2,2	2,4	2,2	1,7	1,2	1,9	2,7	2,0	2,3	2,2	2,4

Uporedjenjem ovih podataka srednjih brzina za pojedine pravce u istom mesecu pada u oči njihova dobra podudarnost naročito u mesecu juli. U januaru postoji nešto veća razlika za pravce od ENE do SE, što takođe prisupljuje nejednakim vremenskim periodima za koje su podaci obradjeni.

c) Dr. Petar Sergijevski obradio je vetrova u Beogradu (14) za period od 11 godina i to: 1906—1907, 1925—1930 i 1937—1939, navodeći da su ove godine izabrane iz razloga što je u drugim godinama brzina vetrova označena po skali Bofora, a ne u m/s. Boforovu skalu za određivanje jačine veta Dr. Sergijevski smatra nepodesnom za naučno obradjivanje materijala. S obzirom da je on uzeo jedan kraći, a uz to isprekidani period to njegove podatke ne možemo ni upoređivati sa našim, a sa njegovom konstatacijom da je Boforova skala nepodesna za naučno obradjivanje materijala, mi se ne slažemo.

2. Temperatura vazduha

Temperatura vazduha služi kao jedan od najpogodnijih meteoroloških elemenata za analizu vazdušnih masa. Iz toga razloga obradjeni su i podaci temperature u vezi sa pravcima veta, a dobijene vrednosti pretstavljaju srednje mesečne temperature za svaki pojedini pravac veta. Kako su terminska osmatranja vršena tri puta dnevno, to je za 26 godina (1920—1945), uzimajući u obzir i 7 prestupnih godina, izvršeno takođe 28491 osmatranje temperature. Prema tome, toliki broj osmotrenih vrednosti temperature, uzet je u obradu. Sama obrada izvršena je čisto statističkom metodom (3,52). U svakom danu je kod svakog osmatranja zasebno, zabeležena prilikom tišine ili veta iz određenog pravca odgovarajuća temperatura u odgovarajuću kolonu. Tako su za svaki mesec i za sva tri dnevna osmatranja ispisane temperature u 17 kolona; 16 za vetrove iz pojedinih pravaca i jedna za tišine.

Pošto je isписан materijal za svih 26 godina sabrane su sve temperature za iste pravce veta i tišinu i podeljene sa brojevima sabiraka, odnosno sa brojevima osmotrenih odgovarajućih pravaca vetrova i tišina za sva tri dnevna osmatranja. Na taj način određena je srednja temperatura za pojedine mesece, za godinu i godišnja doba po pojedinim pravcima veta i za tišine i prikazana u tablici 5.

Na osnovi ovih podataka i podataka koji su ranije prikazani u tablicama I—4, određena je, pored prosečne čestine i brzine vetrova iz raznih pravaca, još i srednja temperatura koja vlada u vremenu njihovog duvanja.

Mora se odmah napomenuti da su ove vrednosti srednje temperature po pojedinim pravcima vetra dobivene od nejednakog broja sabiraka. Jer dok je na pr. srednji godišnji broj čestine pravca vetra kod jugoistoka $138^{\circ}/\text{oo}$ (odnosno 3932 sabirka), kod zapada $107^{\circ}/\text{oo}$ (odnosno 3048 sabiraka) i kod tišine $322^{\circ}/\text{oo}$

Tablica 5

Srednja temperatura vazduha pri vetrovima iz raznih pravaca i pri tišinama u Beogradu za period 1920—1945 g.

	N	NNW	NE	FNE	E	ESE	SE	SSE	S	SSW	SW	WSW	WW	NNW	C		
I	-1,1	-1,8	-1,9	0,4	0,2	-0,3	1,4	3,6	5,5	7,5	3,1	2,0	-1,1	-1,6	-1,0	-0,4	-0,9
II	-2,0	0,0	-1,4	2,2	-0,2	1,8	2,8	5,1	7,2	9,2	3,5	2,8	0,8	1,9	0,9	-0,1	-0,1
III	3,2	4,6	4,3	6,8	5,8	5,3	7,8	11,6	10,4	13,3	11,4	8,6	6,3	5,7	4,2	5,1	6,3
IV	16,1	11,7	12,6	11,5	12,5	12,2	13,9	16,1	15,1	15,8	14,1	12,2	11,2	11,0	16,1	11,7	11,7
V	17,7	18,3	19,7	19,6	19,0	18,7	18,3	18,9	21,5	19,3	18,4	17,6	16,1	16,6	16,9	16,2	17,0
VI	20,4	21,0	21,6	21,5	20,3	22,8	22,0	27,0	24,9	22,7	21,0	20,9	18,9	18,9	20,1	19,7	20,3
VII	24,1	23,9	25,3	27,0	25,0	26,2	25,4	26,4	27,1	25,5	23,8	23,1	20,6	22,4	22,5	24,1	22,3
VIII	23,9	25,3	25,7	25,2	24,6	24,4	24,5	27,0	27,0	26,3	23,4	20,9	19,2	21,1	21,9	22,0	21,1
IX	17,8	18,9	21,9	23,1	19,2	19,8	19,5	22,2	21,5	22,2	21,5	18,8	16,4	18,1	17,9	17,8	17,3
X	11,6	16,1	14,9	13,3	12,7	12,3	14,5	15,8	18,5	19,3	14,9	12,6	11,4	10,9	11,6	11,2	12,0
XI	4,8	8,0	5,8	5,3	6,4	6,5	8,9	12,8	12,2	11,3	11,4	7,2	5,5	5,7	5,1	6,0	
XII	-0,8	-0,6	0,5	0,1	1,0	2,2	4,3	5,9	6,6	6,0	4,4	1,1	0,8	-1,1	-0,1	0,3	0,6
God.	10,8	12,1	12,4	13,0	12,2	12,7	13,6	16,0	16,5	16,5	14,2	12,3	10,5	10,8	10,9	11,1	11,1
Zima	-1,3	-0,8	-0,9	0,9	0,3	1,2	2,8	4,8	6,4	7,6	3,7	2,0	0,2	-0,3	-0,1	-0,1	-0,1
Proleće	10,3	11,5	12,2	12,6	12,4	12,1	13,3	15,5	15,7	16,1	14,6	12,8	11,2	11,1	10,4	11,0	11,7
Leto	22,8	23,4	24,2	24,6	23,3	24,5	24,0	26,8	26,3	24,8	22,7	21,6	19,6	20,8	21,5	21,9	21,2
Jesen	11,4	14,3	14,2	13,9	12,8	12,9	14,3	16,9	17,4	17,6	15,9	12,9	11,1	11,8	11,7	11,4	11,8

(odnosno 9174 sabirka), dotle je kod jugozapadnog veta svega $9^{\circ}/\text{oo}$ (odnosno 256 sabirka). Ipak srednja vrednost iz 256 sabirka može se uzeti u obzir iako je taj broj mnogo manji od drugih navedenih brojeva sabiraka.

Iz tablice 5 se vidi, da su srednje zimske i prolećne temperature najviše pri jugo-jugozapadnom vetu ($7,6^{\circ}$ i $16,1^{\circ}$) a najniže pri severnom vetu ($-1,3^{\circ}$ i $10,3^{\circ}$). U toku leta je najviša srednja temperatura pri jugo-jugoistočnom vetu ($26,8^{\circ}$) a najniža pri zapadnom vetu ($19,6^{\circ}$). U toku jeseni je maksimum srednje temperature opet pri jugo-jugozapadnom vetu ($17,6^{\circ}$) a minimum pri zapadnom vetu ($11,1^{\circ}$). Sudeći prema ovim temperaturnim podacima može se zaključiti, da hladne vazdušne mase, koje prelaze preko Beograda u toku zime i proleća a dolaze sa severa, imaju nižu temperaturu od vazdušnih masa koje dolaze sa zapada i severozapada. Međutim, u toku leta i jeseni najhladnije su one vazdušne mase koje dolaze sa zapada. To su ustvari maritimne polarne vazdušne mase koje kao što se vidi iz tablice 1, vrlo često dolaze u toku leta u naše krajeve.

Što se tiče tropskih vazdušnih masa iz tablice 5 izlazi, da one u toku zime, proleća i jeseni imaju najvišu temperaturu kada dolaze iz jugo-jugozapadnog pravca, a u toku leta su najtoplijе kada dolaze iz jugo-jugoistočnog pravca.

Rasmotrimo sada kakvi temperaturni odnosi vladaju pri vetrovima koji se najviše javljaju u Beogradu. Uzmimo prvo košavu. Napred je rečeno da košava u Beogradu dolazi iz dva pravca ESE i SE. Da vidimo sada kakve temperature vladaju pri jednom, a kakve pri drugom pravcu veta. U tablici 5 date su vrednosti srednjih temperatura za ova dva pravca i one su po mesecima sledeće:

VI — Srednje mesečne temperature pri vetrovima iz ESE i SE pravca

Meseci Pravci vetra	I	II	III	IV	V	VI	VII	VIII	IX	X	XI	XII	god.
ESE (t ₁)	-0,3	1,8	5,3	12,2	18,7	22,8	26,2	24,4	19,8	12,3	6,5	2,2	12,7
SE (t ₂)	1,4	2,8	7,8	13,9	18,3	22,0	25,4	24,5	19,5	14,5	8,9	4,3	13,6
Razlika (t ₁ -t ₂)	1,7	1,0	2,5	1,7	-0,4	-0,8	-0,8	0,1	-0,3	2,2	2,4	2,1	0,9

Kao što se u ovoj tablici primećuje, u mesecima sa pretežno košavskim vетrom srednje temperature pri ESE vetu su znatno niže od srednjih temperatura pri SE vetu. Ovo naročito važi za početak proleća i kraj jeseni. U letnjim mesecima slučaj je obrnut, tj. srednje temperature pri SE vetu su niže od srednjih temperatura pri ESE vetu.

Isto tako, ako se uporede srednje temperature za ostala dva pravca veta koji se često javljaju u Beogradu, tj. za zapadni i severozapadni pravac, dobice se vrednost prikazane u tablici VII na strani 22.

Po ovim podacima izlazi, da su srednje temperature skoro u svima mesecima (sem III, IV i XII) više pri duvanju severozapadnog veta nego pri zapadnom vetu. To znači da je vazduh koji struji preko Beograda a dolazi iz zapadnog pravca hladniji nego vazduh koji dolazi sa severozapada. Naročito se ovo ispoljava u letnjim mesecima.

Ovakve pojave mogu se objasniti na sledeći način:

a) Pozitivna razlika temperature (tabl. VI) pri vetrovima iz SE i ESE pravca za mesece od I do IV i od X do XII jasna je sama po sebi. Vazduh koji strui iz SE pravca u zimskim mesecima dolazi od anticiklona koji se nalazi više prema jugu i zato je on topliji od vazduha koji strui iz ESE pravca. Međutim, temperaturna razlika je negativna u letnjim mesecima (sem VIII), tj. SE vetrovi su hladniji od vetrova iz ESE pravca. Ovo dolazi usled toga što vetrovi iz SE pravca donose leti vazdušne mase od anticiklona koji se nalaze iznad Male Azije, Balkanskog Poluostrva i Srednje Azije (vidi str. 7 pod Kontinentalni tropski vazduh). Oblast iznad kojih se ti anticikloni nalaze i

VII — Srednje mesečne temperature pri vetrovima iz W i NW pravca

Meseci Pravci veta	I	II	III	IV	V	VI	VII	VIII	IX	X	XI	XII	god.
W (t ₁)	-1,1	0,8	6,3	11,2	16,1	18,9	20,6	19,2	16,4	11,4	5,5	0,8	10,5
NW (t ₂)	-1,0	0,9	4,2	10,1	16,9	20,1	22,5	21,9	17,9	11,6	5,7	-0,1	10,9
Razlika (t ₂ -t ₁)	-0,1	-0,1	2,1	1,1	-0,8	-1,2	-1,9	-2,7	-1,5	-0,2	-0,2	0,9	-0,4

gde se te vazdušne mase formiraju većim je delom pod vodom (Sredozemno, Jegejsko, Mramorno i Crno More). Naprotiv vazdušne mase, koje leti dolaze iz ESE pravca, poreklom su iz prostrane Ukrajinske Ravnice, gde se prekodana jako zagrevaju i zato one imaju višu temperaturu od vazdušnih masa koje se formiraju u južnijim oblastima, ali iznad morskih površina.

b) Što se tiče temperaturnih razlika između zapadnih i severozapadnih vetrova, to iz tablice VII izlazi da su severozapadni vetrovi naročito u letnjim mesecima topliji od zapadnih. Ovo dolazi usled toga, što vazdušne depresije, koje se kreću po putanji Va odnosno Vc (1,376—280), dovlače leti najkraćim putem maritimno-polarne vazdušne mase sa Atlanskog Okeana do Beograda u vidu zapadnih vetrova. Međutim, vazdušne mase koje prema Beogradu struje sa severozapada, i ako su i one maritimno-polarnog karaktera, prave duži put preko kontinenta, gde se više zagreju i zato do Beograda dolaze kao toplije, nego što su vazdušne mase koje donose zapadni vetrovi.

U martu, aprilu i decembru, severozapadni vetrovi su ipak hladniji od zapadnih. Za prolećne mesece (III i IV) se ova pojava može ovako protumačiti: Maritimno-polarni vazduh koji u toku proleća dolazi u naše krajeve postaje veoma nestabilan, usled jakog zagrevanja od zemljine površine, i zato se u ovakom vazduhu u toku dana obrazuju uspone vazdušne struje, koje izazivaju gomilastu oblačnost i prolazne pljuskove kiše. Ovo ima kao posledicu snižavanje temperature vazduha.

Uporedimo sada srednje temperature iz suprotnih oktanata E do SE i W do NW, a takodje i srednje temperature pri tišinama. To su ustvari najčešće pojave u Beogradu, a srednje temperature koje im odgovaraju pokazane su u tablici VIII na str. 23.

Ovi brojevi ukazuju, da su najviše srednje temperature pri vетру iz E do SE pravca a najniže pri vетru iz W do NW pravca. Srednje temperature koje pripadaju tihom vremenu imaju skoro u svima mesecima niže vrednosti od temperatura pri vetrovima iz E do SE pravca, a više od temperatura pri vetrovima W do NW pravca.

Da bi se još bolje odredile termičke osobine pojedinih vetrova i tišina, odredićemo otstupanja temperature svakog veta i tišina od normalne temper-

VIII — Srednje mesečne temperature pri vetrovima iz E do SE i W do NW oktanta i pri tišinama

Meseci Oktanti	I	II	III	IV	V	VI	VII	VIII	IX	X	XI	XII	god.
E do SE	0,4	1,5	6,3	12,9	18,7	21,7	25,5	24,5	19,5	13,2	7,3	2,5	12,6
W do NW	-1,2	1,2	5,4	10,8	16,5	19,3	21,8	20,7	17,5	11,3	5,6	-0,1	10,7
Tišine	-0,9	-0,1	6,3	11,7	17,0	20,3	22,3	21,1	17,3	12,0	6,0	0,6	11,1

ture (3), tj. od prosečne temperature iz svih 26 godina, bez obzira na to koji je vetrar duvao i da li je bila tišina. Normalne temperature (t_n) proračunate su po formuli:

$$t_n = \frac{t_7 + t_{14} + t_{21}}{3}$$

gde su t_7 , t_{14} i t_{21} pročitane temperature vazduha u 7, 14 i 21 čas. Ovom se formulom poslužilo iz razloga što su i pri određivanju srednjih temperatura za pojedine pravce vetrova i tišine uzimani samo jednostavni sabirci, koji su sabirani i deljeni sa brojem sabiraka. To znači da večernja temperatura nije uzimana dvostruk, kao što se inače radi, pa se stoga i pri određivanju normalne temperature upotrebila gore navedena formula.

Te normalne temperature (t_n) za period 1920—1945 imaju ovakve vrednosti:

IX — Normalne temperature u Beogradu za period 1920—1945 po formuli: $\frac{t_7 + t_{14} + t_{21}}{3}$ bez obzira na pravac veta i tišine

	XII	I	II	III	IV	V	VI	VII	VIII	IX	X	XI	god.
t'_n	1,7	-0,2	1,3	6,7	12,3	17,5	20,6	23,0	22,2	18,4	12,9	7,1	12,0
t_n	zima 0,9		proleće 12,2		leto 21,9					jesen 12,8			12,0

Ostupanja srednje temperature iz tablice 5 od normalne temperature iz tablice IX za godišnja doba i godinu data su u sledećoj tablici:

X — Ostupanje srednje temperature pojedinih pravaca vetrova i tišine od normalne temperature

N	NNE	NE	ENE	E	ESE	SF	SSE	S	SSW	SW	WSW	W	WNW	NW	NNW	C
Zima	-2,2	-1,7	-1,8	0,0	-0,6	0,3	1,9	3,9	5,5	6,7	2,8	1,1	-0,7	-1,2	-1,0	-1,0
Proleće	-1,9	-0,7	0,0	0,4	0,2	-0,1	1,1	3,3	3,5	3,9	2,4	0,6	-1,0	-1,1	-1,8	-1,2
Leto	0,9	1,5	2,3	2,7	1,4	2,6	2,1	4,9	4,4	2,9	0,8	-0,3	-2,3	-1,1	-0,4	0,0
Jesen	-1,4	1,5	1,4	1,1	0,0	0,1	1,5	4,1	4,6	4,8	3,1	0,1	-1,7	-1,2	-1,1	-1,4
God.	-1,2	0,1	0,4	1,0	0,2	0,7	1,6	4,0	4,5	4,5	2,2	0,3	-1,5	-1,2	-1,1	-0,9

Po podacima u ovoj tablici izlazi da vetrovi iz pravaca od W preko N do E, sa tišinama, imaju zimi nižu temperaturu od normalne, osobito vetrovi

iz oktanta od N do NE. Ostali vetrovi, tj. od ESE do WSW pravca, imaju višu temperaturu, naročito SSW i S. Prema tome se vidi da je zimski najhladniji severni, a najtoplji jugo-jugozapadni vетар. Razlika u temperaturi najhladnijeg i najtopljijeg vetra iznosi $8,9^{\circ}$, što pretstavlja dosta visoku vrednost.

U toku proleća odnos se nešto malo menjaju, ali uglavnom zadržavaju zimski karakter, sem vetrova od NE do ESE. I u proleće je najhladniji severni, a najtoplji jugo-jugozapadni vетар. Razlika u temperaturi između najhladnijeg i najtopljijeg vetra je $5,8^{\circ}$. Pada u oči da su u proleće vetrovi sa severozapada skoro isto tako hladni kao i severni. U toku proleća se jasno ističu, sa jedne strane, hladni vetrovi od zapada, preko severozapada i severa, do severo-seviroistoka, a sa druge strane topli vetrovi iz oktanta od SSE do SSW.

Leti se odnosi dosta menjaju. Vetrovi od severa, pa sve do jugozapada (uzimajući u smislu kretanja kazaljke na satu) imaju višu temperaturu od normalne, a vetrovi od WSW do NW, sa tišinama, imaju nižu temperaturu od normalne. Najhladniji je zapadni, a najtoplji jugo-jugoistočni vетар. Razlika u temperaturi između najhladnijeg i najtopljijeg vetra iznosi $7,2^{\circ}$. Ova je razlika veća od razlike najhladnijeg i najtopljijeg vetra u proleće. I leti se jasno izdvajaju, u termičkom pogledu, dve vrste vetrova: hladni sa zapada i zapada-severozapada i topli sa jugo-jugostoka i juga.

Jesenje temperaturne razlike nam pokazuju da vetrovi od zapada, preko severozapada, do severa, sa tišinama, imaju nižu temperaturu od normalne, a svi ostali vetrovi imaju višu temperaturu od normalne. Najhladniji vетар je, kao i leti, zapadni, a najtoplji jugo-jugozapadni. Razlika u temperaturi između najhladnijeg i najtopljijeg vetra iznosi $6,5^{\circ}$. Kao što izlazi iz podataka, i u jeseni imamo grupu hladnih vetrova iz sektora od W do N pravca i grupu topnih vetrova od SSE do SSW pravca. Isto tako ističe se kao dosta topao i jugozapadni vетар.

Posmatrajući godišnje podatke otstupanja temperature po pojedinim pravcima vidimo da vetrovi od zapada, preko severozapada, do severa, sa tišinama, imaju nižu temperaturu od normalne, a svi ostali vetrovi imaju višu temperaturu od normalne. Najhladniji je zapadni, a najtoplji južni i jugo-jugozapadni vетар, sa temperaturnom razlikom od $6,0^{\circ}$.

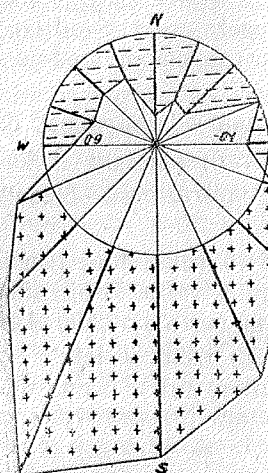
Još jedna interesantnost se može zapaziti u tablici X: Zimi i u proleće azimutalno rastojanje između najtopljijeg (SSW) i najhladnijeg (N) veta iznosi $167,5^{\circ}$ (u smislu kretanja kazaljke na satu); leti se ovo rastojanje smanjuje na $112,5^{\circ}$, a u jeseni i u toku godine ovo rastojanje iznosi samo $67,5^{\circ}$.

Ostupanje srednje temperature pojedinih pravaca vetrova od normalne temperature za godišnja doba i godinu prikazano je grafički na slikama 7, 8, 9, 10 i 11. To su tzv. *termičke ruže vetrova*.

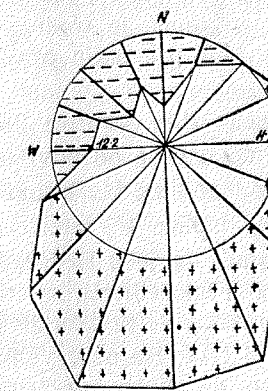
Poluprečnici krugova kod ovih slika pretstavljaju normalne temperature za pojedina godišnja doba i godinu bez obzira na pravac veta (tabl. IX).

Ovi poluprečnici, odnosno periferije krugova, jednaki su za svih 5 slika, bez obzira što normalne temperature nisu iste u pojedinim godišnjim dobnim. Brojne vrednosti normalnih temperatura upisane su u odgovarajućim krugovima i to levo od centra kruga, odnosno na zapadnoj strani. Prema tome, periferije datih krugova pretstavljaju te normalne temperature.

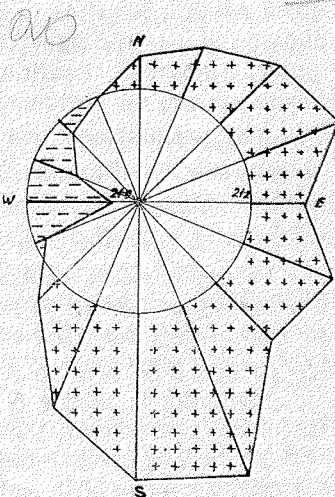
Na desnoj strani od centra kruga upisane su vrednosti srednje temperature koje pripadaju tišinama. Izložljene linije koje spajaju svih 16 pravaca pretstavljaju temperaturne razlike iz tablice X.



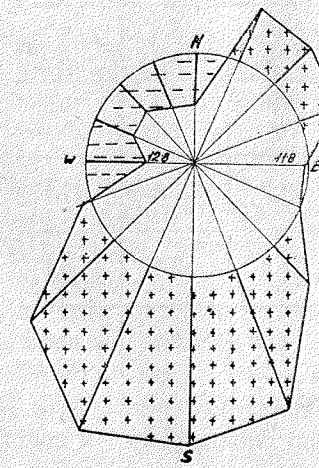
Sl. 7
Termička ruža vetrova
u toku zime



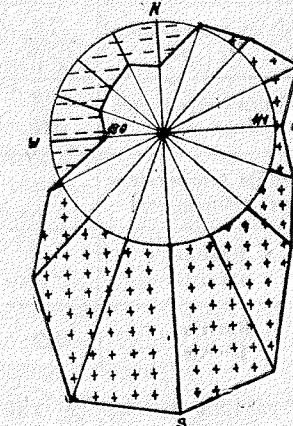
Sl. 8
Termička ruža vetrova
u toku proleća



Sl. 9
Termička ruža vetrova
u toku leta



Sl. 10
Termička ruža vetrova
u toku jeseni



Sl. 11
Termička ruža vetrova
u toku godine

Da bi se ovi crteži mogli jasnije razumeti navodimo sledeće primere: Godišnja normalna temperatura je $12,0^{\circ}$ (tabl. IX), a srednja godišnja temperatura pri severnom vetu je $10,8^{\circ}$ (tabl. 5), dakle, niža od normalne za $1,2^{\circ}$. Ova razlika od $1,2^{\circ}$ pretstavljena je na sl. 11 na poluprečniku kruga koji ima severni pravac, ali unutra od periferije kruga. Srednja godišnja temperatura pri južnom vetu je $16,5^{\circ}$, tj. ustvari viša za $4,0^{\circ}$ od normalne. Razlika od $4,5^{\circ}$ pretstavljen

na je na sl. 11 na južnom pravcu i to od periferije kruga napolje. Na ovakav način nacrtane su razlike za sve ostale pravce vetra i to kako za godinu tako i za godišnja doba. Prostor između periferije kruga koji predstavlja normalnu temperaturu, i izlomljene linije, koja predstavlja srednju temperaturu pri vetrovima dočitih pavaca, išrafiran je znakom (+) i (-). Površine išrafirane sa (+) pripadaju onim pravcima vetrova pri kojima je srednja temperatura viša od normalne, a površine išrafirane sa (-) pripadaju pravcima sa nižom srednjom temperaturom od normalne.

Ako posmatramo ove termičke ruže vetrova pada nam odmah u oči, da su površine išrafirane sa (+) mnogo veće od površina išrafiranih sa (-), kako kod godišnjih doba tako i kod godine. Da bismo ovu nesrazmeru objasnili moramo se poslužiti podacima iz tablice 1 i tablice 5.

Po podacima iz tablice 1 izlazi da je u Beogradu vrlo veliki broj tišina. Čestina tišina ustvari je najveća u uporedjenju sa pravcima vetra. Broj tišina je znatno veći čak i od onih pravaca vetra koji se dosta često javljaju, kao što su zimi ESE i SE a leti W i NW. Naročiti veliki broj tišina je leti.

Medutim iz tablice 5 vidimo, da su srednje temperature pri tišinama dosta niske. One ustvari variraju između najviših temperatura pri vetrovima iz SSE do SSW pravca i najnižih temperatura pri vetrovima sa severa i zapada, ali su mnogo bliže najnižim temperaturama. Ako ovo predstavimo brojevima imaćemo:

	Zima	Proleće	Leto	Jesen	Godina
Najviša temperatura (t_x) pri	7,6 SSW	16,1 SSW	26,8 SSE	17,6 SSW	16,5 S i SSW
Najniža temperatura (t_m) pri	-1,8 N	10,3 N	19,6 W	11,1 W	10,5 W
Srednja temperatura pri tišinama (t)	-0,1	11,7	21,2	11,8	11,1
Razlika ($t_x - t$)	7,7	4,4	5,6	5,8	5,4
Razlika ($t - t_m$)	1,2	1,4	1,6	0,7	0,6

Dakle, razlika $t - t_m$ je znatno manja od razlike $t_x - t$, a to znači da su srednje temperature tišina, kako u godišnjim dobima tako i u godini, mnogo bliže temperaturi pri najhladnijim nego temperaturi pri najtoplijim vetrovima. Dakle, temperatura je pri tihom vremenu dosta niska, što je posledica jakе radijacije. Medutim, kada se izračunava normalna temperatura, bez obzira na pravac vetra i tišinu, onda dolazi u račun veliki broj dosta niskih temperatura pri tihom vremenu i zato se vrednost normalne temperature snižava.

Iz toga razloga imamo veći broj pravaca vetrova pri kojima je temperatura viša od normalne, nego pri kojima je niža. Iz istih razloga je razlika između temperature toplih vetrova i normalne temperature mnogo veća, nego što je razlika između normalne temperature i hladnih vetrova.

Ovo se naročito ispoljava u letnjim mesecima (sl. 9) kada ima najviše tišina u Beogradu, a srednja temperatura pri tišini ($21,2^{\circ}$) je niža od temperaturu pri vetrovima iz svih pravaca sem W i WNW (tabl. 5).

Godišnja termička ruža vetrova za Beograd (sl. 11) se donekle podudara sa godišnjom termičkom ružom Budimpešte (15,55) naročito što se tiče vetrova od E preko S i W do N. Izvesna razlika je samo za vetrove iz severoistočnog kvadranta. U Beogradu ti vetrovi imaju srednju godišnju temperaturu višu od normalne, a kod Budimpešte je obrnuto.

Naši podaci za košavski veter u Beogradu dosta se dobro podudaraju sa opštim zaključcima profesora P. Vujevića, po kojima je, uopšte temperatura, pri košavskom vetrusu obično viša, nego što je pre početka ovoga veta (1,333), odnosno da je pri njemu, u Beogradu, temperatura obično prilično viša od prosečne temperature odgovarajućeg meseca (2,110). Prema našim podacima (tablica X) ovo naročito važi za košavsku komponentu SE. Što se tiče košavske komponente SSE, po našim podacima, njena je temperatura zimi i u jesen samo nešto malo viša od normalne temperature, dok je u proleće čak i malo niža od normalne.

O povišenju temperature pri košavi govori i S. Róna (16, 159—160) i prislušuje to, ne samo dinamičkom zagrevanju prilikom fenskih pojava pri košavskom vetrusu, već i zagrevanju na prednjoj strani jedne depresije, koje se oseća u istočnih oblastima pri približavanju depresije.

Mihajlo

3. Pritisak (napon) vodene pare

Pritisak vodene pare, odnosno apsolutna vлага *) vazduha je različita za različite vazdušne mase. Vazdušne mase maritimnog tipa sadrže veće količine vodene pare u sebi nego kontinentalne, iako i maritimne i kontinentalne vazdušne mase pripadaju istoj glavnoj vrsti, recima tropskim ili polaznim itd. Sem toga, kao što je poznato, apsolutna vлага zavisi još i od temperature. Topliji vazduh sadrži obično veću količinu vodene pare u sebi od hladnijeg. Prema tome, apsolutna vлага, posle temperature, služi takođe kao važan meteorološki elemenat za analizu vazdušnih masa.

Iz tog razloga obradjeni su i podaci apsolutne vlage na isti način kao i temperatura, tj. određene su srednje vrednosti apsolutne vlage za svaki pojedini pravac vetra i tišinu u Beogradu za period 1920 do 1945 godine. U ovom periodu nedostaju samo podaci apsolutne vlage od 1—XI do 23—XI 1944 god. za večernje termine, jer se tada nisu mogla vršiti osmatranja apsolutne vlage, iz razloga što nije bilo baterije za džepnu električnu lampu pri čijoj su se svetlosti čitali instrumenti, a registrirni higrograf je bio uništen od strane okupatora pri oslobođenju Beograda.

Srednja vrednost pritiska vodene pare pri vetrovima iz raznih pravaca i pri tišinama u Beogradu, po mesecima i godišnjim dobima, iznete su u tablici 6.

*) Pošto pritisak vodene pare u mm Hg ima približno iste brojne vrednosti kao apsolutna vлага u gr/m^3 , to će u daljem izlaganju, u izvesnim slučajevima, umesto izraza pritisak vodene pare biti upotrebљen izraz apsolutna vлага, a brojne vrednosti u tablicama biće date u mm Hg.

Tablica 6

Srednji pritisak (rapori) vodene pare pri vetrovima iz raznih pravaca i pri tijenama u Beogradu za period 1920–1945, u mm.

	N	NNE	NE	E	ESE	SE	SSE	S	SSW	SW	W	WNW	NWW	C
I	3,8	3,8	3,7	4,0	4,1	3,4	4,1	4,5	4,8	5,0	4,6	4,6	3,9	3,5
II	3,3	4,0	3,6	4,3	3,8	4,1	4,2	4,5	5,1	5,4	4,1	4,4	4,1	3,9
III	4,2	5,0	5,0	5,3	4,6	4,5	5,1	5,8	5,6	5,7	5,7	5,5	5,2	4,8
IV	5,7	6,4	6,2	6,6	6,6	6,7	7,1	6,9	6,8	7,0	7,0	6,7	6,8	6,6
V	9,1	10,1	9,6	10,5	10,6	9,8	10,3	9,4	9,5	9,9	10,0	10,0	9,6	8,6
VI	10,4	11,2	11,6	12,8	11,4	12,0	11,9	12,3	12,5	11,7	11,9	11,6	10,9	10,7
VII	11,9	12,0	11,5	11,9	13,9	13,5	13,1	13,1	12,8	13,0	12,8	13,1	12,4	12,5
VIII	11,5	11,2	12,3	12,2	11,7	12,3	11,7	13,0	12,5	12,5	12,4	12,2	12,1	11,8
IX	9,4	9,9	10,8	10,0	10,0	10,0	10,1	10,5	10,3	11,3	10,7	10,5	10,1	9,9
X	7,8	8,9	8,9	9,3	8,3	7,9	8,5	8,6	9,3	9,1	8,4	8,2	7,3	7,4
XI	5,6	6,4	5,8	5,7	5,7	5,6	6,6	7,4	7,6	7,4	7,1	6,4	5,9	5,7
XII	4,0	4,1	4,5	4,2	4,3	4,1	5,2	5,3	5,2	5,0	5,2	4,5	4,4	3,9
God.	7,2	7,7	7,8	8,1	7,9	7,8	8,1	8,4	8,5	8,6	8,3	8,1	7,8	7,5
Zima	3,7	4,0	3,9	4,2	4,1	4,0	4,5	4,8	5,0	5,1	4,6	4,5	4,1	3,8
Proleće	6,3	7,2	7,0	7,5	7,3	7,0	7,5	7,4	7,3	7,5	7,6	7,4	7,2	6,7
Leto	11,3	11,5	11,8	12,3	12,3	12,6	12,2	12,8	12,6	12,4	12,4	12,3	12,1	11,7
Jesen	7,6	8,4	8,5	8,3	8,0	7,8	8,4	8,9	9,1	9,3	8,7	8,4	7,8	7,7

Vrednosti iz tablice 6 nam pokazuju, da je u toku zime najveća absolutna vlaga pri duvanju jugo-jugozapadnog vetra (5,1), dok je najmanja pri duvanju severnog vetra. U proleće je maksimum absolutne vlage pri vetu iz jugozapadnog pravca (7,6), a minimum takodje pri severnom vetu (6,3). Leti je najveća absolutna vlaga pri duvanju jugo-jugoistočnog vetra (12,8) i južnog (12,6), a najmanja (11,3) pri vetu iz severnog i severo-severozapadnog pravaca. Najzad, u jesen najveća absolutna vlaga (9,3) pripada jugo-jugozapadnom vetu, a najmanja (7,6) pripada takodje vetrovima iz oktanta od NW do N.

Uglavnom nam ova tablica pokazuje da je najveća absolutna vlaga pri vetrovima iz južnog kvadranta tj. od SE do SW, a najmanja pri vetrovima od NW do N. Sto se tiče absolutne vlage pri tihom vremenu, ona je zimi bliža minimalnoj absolutnoj vlazi severnih vetrova, dok se u proleće i leti njeni vrednosti bliži maksimalnoj vlazi koja pripada južnim vetrovima. Drugačije je u jesen. Tada absolutna vlaga pri tihom vremenu ima skoro aritmetičku sredinu između maksimalne vlage jugo-jugozapadnog pravaca i minimalne vlage severnog pravaca.

Ako se izdvoje vrednosti absolutne vlage za one pravce vetrova koji se najčešće javljaju u Beogradu, tj. za ESE i SE, a takodje i za W i NW pravce dobiće se podaci godišnjeg toka koji dobro odgovaraju temperaturnom toku. Tako npr. ako se uzmu vrednosti absolutne vlage pri vetrovima iz ESE i SE i uporede međusobom dobiće se ovakve vrednosti:

OVD XI — Srednje vrednosti pritiska vodene pare pri vetrovima iz ESE i SE pravaca

Meseci Pravci vetra	I	II	III	IV	V	VI	VII	VIII	IX	X	XI	XII	god.
ESE (e)	3,4	4,1	4,5	6,7	9,8	12,0	13,5	12,3	10,0	7,9	5,6	4,1	7,8
SE (e ₁)	4,1	4,2	5,1	7,1	10,3	11,9	13,1	11,7	10,1	8,5	6,6	5,2	8,1
Razlika (e – e ₁)	0,7	0,1	0,6	0,4	0,5	-0,1	-0,4	-0,6	0,1	0,6	1,0	1,1	0,3

Vrednost absolutne vlage pri ESE vetu je manja od vrednosti pri SE vetu, i to u onim mesecima u kojima preovladjuje košavska situacija. U letnjim mesecima (od VI do VIII), kada vetrovi jugoistočnih pravaca nemaju veliku čestinu, slučaj je obrnut.

U poređivanjem podataka za srednju temperaturu iz tablice VI sa podacima absolutne vlage iz tablice XI dolazi se do očevideće podudarnosti godišnjih tokova ova dva meteorološka elementa.

Ako se sada, sa druge strane, uzmu u obzir vrednosti absolutne vlage pri zapadnom i severozapadnom vetu imaćemo sledeće brojeve:

OVD XII — Srednje vrednosti pritiska vodene pare pri vetrovima iz W i NW pravaca

Meseci Pravci vetra	I	II	III	IV	V	VI	VII	VIII	IX	X	XI	XII	god.
W (e)	3,9	4,1	5,2	6,8	9,6	11,8	12,4	12,1	10,1	7,3	5,9	4,4	7,8
NW (e ₁)	3,8	3,9	4,2	6,2	8,9	10,7	12,0	11,5	9,8	7,3	5,7	4,1	7,3
Razlika (e – e ₁)	0,1	0,2	1,0	0,6	0,7	1,1	0,4	0,6	0,3	0,0	0,2	0,3	0,5

Ovdje izlazi da je absolutna vlaga pri zapadnom vetu preko cele godine veća nego pri severozapadnom. Međutim, kako je ranije u Tablici VII iznetno, kod temperature je skoro obrnut slučaj.

Najzad, ako se uporede vrednosti absolutne vlage iz suprotnih pravaca E do SE i W—NW, a takodje i pri tijenama, kao što je to uradjeno i za temperaturu dolazi se do vrednosti iznetih u tablici XIII na str. 30.

XIII — Srednje vrednosti pritiska vodene pare pri vetrovima iz E do SE i W
do NW oktanta i pri tišinama

Meseci Oktanti	I	II	III	IV	V	VI	VII	VIII	IX	X	XI	XII	god.
E do SE	3,9	4,0	4,7	6,8	10,2	11,8	13,5	11,9	10,0	8,2	6,0	4,6	7,9
W do NW	3,7	4,0	4,7	6,5	9,0	11,1	12,3	11,8	9,9	7,3	5,8	4,1	7,5
Tišina	3,8	3,9	5,1	7,0	9,9	12,0	12,9	12,4	10,6	8,3	6,2	4,4	8,0

Istočni i jugoistočni vetrovi sadrže u sebi više vodene pare nego vetrovi sa zapada i severozapada skoro u svima mesecima. Ovi podaci odgovaraju i temperaturnim tokovima, pretstavljenim u tablici VIII. Apsolutna vлага pri tišini je veća za sve mesece sem I, II, V, VII i XII od absolutne vlage pri vetrovima iz E do SE i W—NW oktanta.

Uzimimo sada otstupanja absolutne vlage svakog vetra i tišina od normalne absolutne vlage. Normalna absolutna vлага (e_n) u Beogradu za period 1920 do 1945 godine je sledeća:

XIV — Normalan pritisak vodene pare u Beogradu za period 1920—1945 god.
bez obzira na pravac vetra i tišine, u mm Hg

	XII	I	II	III	IV	V	VI	VII	VIII	IX	X	XI	god.
e'_n	4,5	3,9	4,1	5,0	6,7	9,7	11,6	12,7	12,1	10,3	8,2	6,2	7,9
e_n	zima 4,2		proleće 7,1		leto 12,1		jesen 8,2						7,9

Razlika izmedju srednje vrednosti pritiska vodene pare iz tablice 6 i normalnog pritiska iz tablice XIV za pojedine vetrove i tišinu su ovolike:

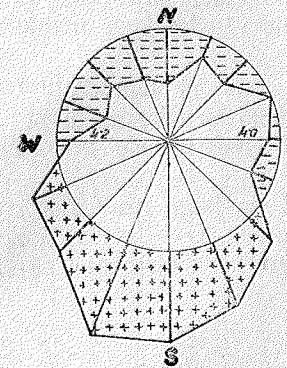
XV — Otstupanje parnog pritiska pojedinih pravaca vetra i tišine od normalnog parnog pritiska

	N	NNE	NE	ENE	E	ESE	SE	SSE	S	SSW	SW	WSW	W	WNW	NW	NNW	C
Zima	-0,5	-0,2	-0,3	0,0	-0,1	-0,2	0,3	0,6	0,8	0,9	0,4	0,3	-0,1	-0,4	-0,3	-0,4	-0,2
Proleće	-0,8	0,1	-0,1	0,4	0,2	-0,1	0,4	0,3	0,2	0,4	0,5	0,3	0,1	-0,4	-0,7	-0,3	0,2
Leto	-0,8	-0,6	-0,3	0,2	0,2	0,5	0,1	0,7	0,5	0,3	0,3	0,2	0,0	-0,4	-0,7	-0,8	0,3
Jesen	-0,6	0,2	0,3	0,1	-0,2	-0,4	0,2	0,7	0,9	1,1	0,5	0,2	-0,4	-0,5	-0,6	-0,6	0,2
God.	-0,7	-0,2	-0,1	0,3	0,0	-0,1	0,3	0,5	0,6	0,7	0,4	0,2	-0,1	-0,4	-0,6	-0,5	0,1

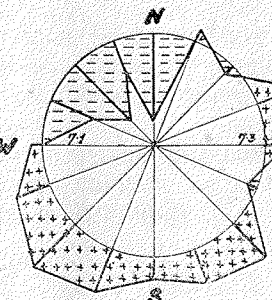
Ostupanje srednjeg parnog pritiska od normalnog ima izvesne podudarnosti, sa ostupanjem temperature (tabl. X). Najveća pozitivna ostupanja, u svim godišnjim doba, imaju vetrovi od SE do WSW, a najveća negativna ostupanja imaju vetrovi od WNW do N. To bi se, na osnovi podataka iz tablice XV, moglo uglavnom i ovako izložiti: Vetrovi koji duvaju iz SE do WSW pravca imaju preko cele godine veću absolutnu vlagu od normalne, a vetrovi iz WNW do N pravca imaju manju absolutnu vlagu od normalne. Karakteristično je, da se obe košavske komponente (ESE i SE) u ovom po-

gledu ne ponašaju podjednako. Dok je pri komponenti ESE absolutna vлага manja i od normalne sa izuzetkom leta, doglede je pri komponenti SE veća od normalne. Izvesne osobenosti pokazuju i zapadni vetrar. Apsolutna vлага pri ovom vetu je zimi, u proleće i leti bliska ili ravna normalnoj absolutnoj vlagi, što se ne podudara sa temperaturnim tokom.

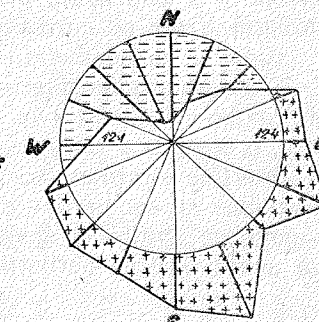
Da bi se ova otstupanja mogla još bolje uočiti prikazaćemo ih grafički na slikama 12, 13, 14, 15 i 16.



Sl. 12
Atmička ruža vetrova
(apsolutna vлага) — zimi

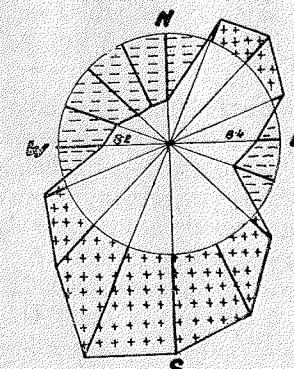


Sl. 13
Atmička ruža vetrova
(apsolutna vлага) — u proleće

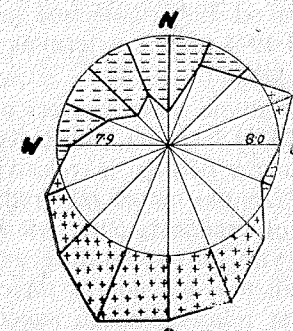


Sl. 14
Atmička ruža vetrova
(apsolutna vлага) — leti

Na ovim slikama poluprečnici odnosno periferije krugova predstavljaju srednje vrednosti absolutne vlage za godinu u godišnja doba bez obzira na pravac vetra, tj. normalne vrednosti absolutne vlage. Prvi brojevi u krugovima (levo od centra) izražavaju te normalne vrednosti absolutne vlage, a drugi



Sl. 15
Atmička ruža vetrova
(apsolutna vлага) — u jesen



Sl. 16
Atmička ruža vetrova
(apsolutna vлага) — u godini

gi brojevi izražavaju srednje vrednosti absolutne vlage pri tihom vremenu. Izlomljena linija koja spaja ovih 16 pravaca u pojedinih krugovima predstavlja razlike izmedju normalnih vrednosti absolutne vlage i srednjih vrednosti

apsolutne vlage dotičnih pravaca vetra za pojedina godišnja doba. Za pravce vetra pri kojima je srednja apsolutna vlagu manja od normalne, izlomljena linija se nalazi unutra periferije kruga, a za pravce vetra pri kojima je srednja apsolutna vlagu veća od normalne izlomljena linija se nalazi sa spoljne strane periferije kruga.

Površine na slikama od 13 do 16 išrađivane sa znakom (+) predstavljaju one pravce vetra koji prouzrokuju veću apsolutnu vlagu nego što je normalna apsolutna vlagu pojedinih godišnjih doba. Naprotiv, površine išrađivane sa znakom (—) izražavaju pravce iz kojih strujanje vazduha uslovljava manju apsolutnu vlagu od normalne.

Kada se za odgovarajuću godišnju dobu uporede grafikoni temperature (sl. 7—11) sa grafikonom apsolutne vlage (sl. 12—16) onda se lako može videti koliko se odnosi ova dva elementa poklapaju za odgovarajuće pravce vetra, o čemu je i ranije govoreno.

Površine išrađivane sa znakom (+) malaze se skoro na istim pravcima i sa spoljne strane periferije kruga na crtežima oba elemenata. Ovo isto važi i za površine išrađivane znakom (—), samo što se one kod oba elemenata nalaze unutra kružne periferije.

4. Relativna vlagu

Relativna vlagu ili stepen zasićenosti vazduha vodenom parom, stoji u obrnutom odnosu sa temperaturom vazduha. Prema tome i relativna vlagu služi kao meteorološki element za određivanje izvesnih karakterističnih osobina vazdušnih masa, koje iz pojedinih pravaca struje preko dotičnog mesta. Radi toga obradjeni su podaci relativne vlage u Beogradu za period 1920—1945 god. i to na isti način kao i podaci temperature i apsolutne vlage. Srednje vrednosti relativne vlage pri vetrovima iz raznih pravaca i pri tišinama za mesece, godinu i godišnja doba iznete su u tablici 7.

U periodu od 1920—1945 god. nedostaju samo podaci relativne vlage od 1-XI do 23-XI-1944 godine u terminu 21 časa, iz istih razloga koji su navedeni za apsolutnu vlagu.

Zimi je relativna vlagu najveća pri NNE vetrui (87%), a najmanja pri jugo-jugozapadu (65%). Sem toga dosta veliku relativnu vlagu imaju zapadni vetrovi i tišine. Pada u oči, da je relativna vlagu pri vetrovima iz celog oktanta SSE do SSW znatno manja od vrednosti relativne vlage ostalih pravaca i iznosi u srednjoj vrednosti 69%. Ali je i srednja temperatura iz ovog oktanta (6,3°) znatno viša od temperature pri ostalim vetrovima (v. tabl. 5). To znači da nam iz ovih pravaca dolaze tople i suve vazdušne mase. Naročito se ističe nagli porast relativne vlage između SSW i SW vetra. Ovaj veliki porast relativne vlage za 11% između ova dva susedna pravca veta odgovara, nagnom padu temperature od 3,9° između njih (tabl. 5). Iz toga se može zaključiti, da ovi vetrovi, iako im se pravci azimutalno razlikuju samo za 22,5°, imaju dosta različite fizičke osobine.

Za vreme proleća najvlažniji je zapadni (72%), a najsuvlji jugo-jugozapadni vetr (56%). Karakteristično je, da azimutalno rastojanje između najsvuljeg i najvlažnijeg vetra iznosi samo 67,5°. Srednja vrednost relativne vlage za vetrove iz oktanta SSE do SSW iznosi oko 57%. Prema tome to znači da su ovo najsuvlji, a takodje i najtoplji vetrovi i u proleće.

Ljeti je maksimum relativne vlage takodje pri zapadnom vetrui (73%), a minimum pri jugo-jugoistočnom (51%). Ovo se dobro poklapa sa temperaturnim minimumom i maksimumom (tabl. 5). Dakle, maksimalna vrednost relativne vlage pada na pravac veta sa najnižom temperaturom i obratno. I u ovom godišnjem dobu se ističu suvi i topli vetrovi iz oktanta SSE do SSW sa srednjom relativnom vlagom oko 53%, i srednjom temperaturom od 26,0° (tabl. 5).

Tablica 7

Srednja vrednost relativne vlage pri vetrovima iz raznih pravaca i pri tišinama u Beogradu

za period 1920—1945

	N	NNE	NE	E	ESSE	SE	SSE	S	SSW	SW	WSW	W	NNW	NW	NW	C
I	86	91	88	83	85	77	74	75	72	63	79	83	86	82	83	85
II	78	83	81	78	80	75	71	67	67	61	69	59	69	72	74	81
III	72	75	77	71	66	66	65	58	61	51	59	62	67	71	68	71
IV	63	63	57	65	65	62	61	53	55	56	62	68	69	68	59	68
V	62	63	58	63	66	62	63	59	55	61	65	68	72	63	70	70
VI	60	62	63	69	66	59	62	45	54	60	67	66	74	69	64	77
VII	66	55	46	46	54	54	56	54	52	55	60	65	70	64	61	66
VIII	55	52	52	53	53	55	54	51	51	51	62	69	75	66	61	68
IX	64	63	53	51	62	59	61	55	58	62	59	67	73	66	65	74
X	76	65	71	84	75	72	70	67	59	69	78	77	72	76	79	79
XI	86	81	82	81	76	75	75	67	67	74	72	83	85	78	83	84
XII	87	85	89	83	81	79	78	75	70	72	81	88	87	89	88	88
God.	71	70	68	69	69	66	66	61	60	60	67	73	77	73	71	76
Zima	84	87	86	81	82	77	75	72	69	65	76	83	85	83	84	85
Proleće	66	67	64	66	66	63	63	57	57	56	62	68	72	68	66	59
Leto	60	56	54	56	58	56	57	51	52	55	63	67	73	66	62	70
Jesen	75	69	72	71	69	63	62	61	61	65	67	76	79	76	72	79

Najzad u jesenjem godišnjem dobu najveća vrednost relativne vlage je pri zapadnom vetrusu i pri tišini (79%), a najmanja pri južnom vetrusu (61%). Vetrovi iz oktanta SSE do SSW su takođe relativno suvi sa srednjom relativnom vlagom od 63%, što je opet u vezi sa najvišom temperaturom (17,3°) pri ovim vetrovima.

Vrednosti relativne vlage za najčešće vetrove, tj. za ESE i SE pravce, pokazuju vrlo male razlike u svima mesecima. To isto važi i za druga dva veoma česta vetra W i NW, ali samo u zimskim i prvim proleternim mesecima. U letnjim i jesenjim mesecima, međutim, postoji veća razlika u relativnoj vlazi kod ova dva pravca vetra, tj. zapadni vetr ima otprilike za 9% veću relativnu vlagu od severozapadnog vetrusa.

Relativna vлага pri tihom vremenu je tagodje dosta velika u svima mesecima, a u junu i oktobru ima čak maksimalne vrednosti u odnosu na sve pravce vetrova.

Ako se uzmu u rasmatranje srednje vrednosti relativne vlage za vetrove iz suprotnih pravaca E do SE i W do NW, kao i za tišine, dobije se ovakvi brojevi:

XVI — Srednje vrednosti relativne vlage pri vetrovima iz E do SE i W do NW
oktanta i pri tišinama

Meseci oktanti	I	II	III	IV	V	VI	VII	VIII	IX	X	XI	XII	god.
E do SE	79	76	66	63	64	62	55	54	61	72	75	79	67
W do NW	85	79	73	69	66	69	65	67	69	76	83	88	74
Tišine	85	81	71	68	70	77	66	68	74	79	84	88	76

Po podacima iz gornje tablice izlazi da su najmanje srednje vrednosti relativne vlage preko cele godine pri vetrovima iz istočnog do jugoistočnog pravca. Dosta su veće srednje vrednosti relativne vlage pri duvanju vetrova sa zapada do severozapada, i to prosečno za 9%, dok su skoro u svima mesecima najveće srednje vrednosti relativne vlage pri tihom vremenu, osobito u mesecu junu i septembru.

Uporedjujući sadla vrednosti apsolutne vlage za navedene suprotne oktante (tabl. XIII) sa vrednostima relativne vlage (tabl. XVI) vidi se, da su

XVII — Normalne vrednosti relativne vlage u Beogradu za period 1920—1945 god.
bez obzira na pravac vetrusa i tišine, u %

	XII	I	II	III	IV	V	VI	VII	VIII	IX	X	XI	god.
U'ₙ	84	82	77	68	64	66	66	63	64	67	74	80	71
Uₙ	zima 81	proleće 66		leto 64									71

vetrovi sa istoka do jugoistoka suviji, tj. da imaju manju relativnu vlagu od vetrova sa zapada i severozapada, iako skoro u svim mesecima sadrže veću količinu vodenе pare u sebi od zapadnih i severozapadnih vetrova, što se ogleda u većoj apsolutnoj vlagi.

Ostupanja srednje vrednosti relativne vlage, pri svakom pravcu vetrusa i tišini, od normalne vrednosti relativne vlage moći će još bolje da pruži podatke o stepenu vlažnosti pojedinih vazdušnih struja, koje u prizemlju struje preko Beograda. Normalne vrednosti relativne vlage (U'_n), bez obzira na pravac vetrova i tišine date su u tablici XVII na strani 34.

Ostupanja relativne vlage pri vetrovima iz raznih pravaca i pri tišinama od normalne relativne vlage iznećemo u sledećoj tablici:

XVIII — Ostupanje relativne vlage pojedinih pravaca vetrusa i tišina od normalne vrednosti relativne vlage

	N	NNE	NE	ENE	E	ESE	SE	SSE	S	SSW	SW	WSW	W	WNW	NW	NNW	C
Zima	3	6	5	0	1	-4	-6	-9	-12	-16	-5	2	4	2	3	2	4
Proleće	0	1	-2	0	0	-3	-3	-9	-9	-10	-4	2	6	2	2	0	3
Leto	-4	-8	-10	-8	-6	-8	-7	-13	-12	-9	-1	3	9	2	-2	-4	6
Jesen	1	-5	-5	-2	-3	-5	-5	-11	-13	-9	-7	2	5	2	-2	0	5
God.	0	-1	-3	-2	-2	-5	-5	-10	-11	-11	-4	2	6	2	0	0	3

Najveće pozitivno ostupanje relativne vlage u toku zime je pri NNE vetrusu (6%), a sem toga se još ističe i ostupanje pri NE vetrusu (5%), kao i pri zapadnom vetrusu i tišinama (4%). Najveće pak negativno ostupanje je pri SSW vetrusu (-16%). Razlika relativne vlage između najsuvilijeg i najvlažnijeg vetrova iznosi 22%. Inače, kao što nam podaci pokazuju, manja relativna vлага od normalne je pri svim vetrovima od ESE do SW, medju kojima se naročito ističu vetrovi iz oktanta SSE do SSW sa srednjim negativnim ostupanjem od 12%. Ostali vetrovi od WSW preko W i N do E imaju veću relativnu vlagu od normalne.

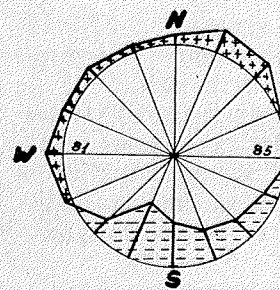
Podaci iz tablice XVIII, za zimski period, imaju obrnuti tok od temperaturnih ostupanja (tabl. X) i dosta se dobro slažu u tom pogledu.

Za vreme proleća je maksimalno pozitivno ostupanje pri vetrusu sa zapada (6%), a maksimalno negativno opet pri SSW vetrusu (-10%); razlika u relativnoj vlazi između njih je 16%. I ovde se ističu vetrovi iz oktanta SSE do SSW sa izrazitim srednjom negativnom razlikom od 9%. Prema tome mogli bismo ovako zaključiti, da u toku proleća imamo u Beogradu, sa jedne strane, najsuvilige vetrove iz oktanta SSE do SSW, a sa druge strane, najvlažnije vetrove sa zapada. Vetrovi iz ostalih pravaca, u pogledu vlažnosti, imaju znatna manja ostupanja od napred navedenih sa najvećim pozitivnim i negativnim ostupanjem.

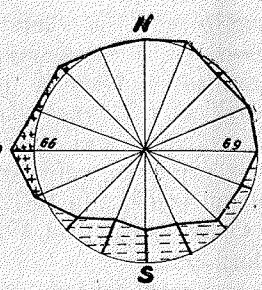
Letnji tok ostupanja se nešto menja. Najveće pozitivno ostupanje ostaje i dalje pri zapadnom vetrusu (9%), a maksimalno negativno ostupanje pada na SSE vetrar (-13%); razlika u relativnoj vlazi između najsuvilijeg i najvlažnijeg vetrusa iznosi 22%. I u toku leta su vetrovi iz oktanta SSE do SSW dosta suviji od normalnog stanja, a zapadni vlažniji. Ali je u toku leta karakteristično, da svi vetrovi, sem iz oktanta WSW do WNW, imaju manju relativnu vlagu od normalne. Ovakav tok se dobro podudara, naravno u obrnutom odnosu, sa tokom temperaturnog ostupanja (tabl. X); izuzetak je samo kod NW i NNW. Naročito ćemo još upozoriti na dosta veliko negativno ostupanje kod vetrova od NNE do SE.

U toku jeseni je najveće pozitivno otstupanje pri zapadnom vetrusu (5%), a najveće negativno pri južnom vetrusu (-13%); razlika je dakle 18%. I ovde vetrovi iz oktanta SSE do SSW važe kao dosta suvliji od normalnog stanja, a zapadni kao vlažniji. Inače, kao suvliji vetrovi su svi od NNE do SW pravci, a takodje i NW. I ovaj se tok otstupanja relativne vlage dobro podudara sa otstupanjem temperature u obrnutom smislu, izuzev NW. Prema tome vidimo da vetr iz NW pravca, kako u toku leta tako i jeseni ima neke specifične osobine u pogledu relativne vlage, ali je kod njega negativno otstupanje svega 2% tj. dosta malo.

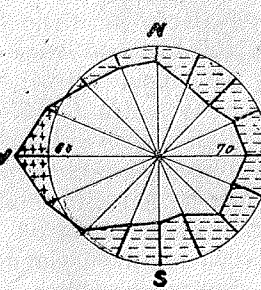
Ako iz tablice XVIII uzmem u rasmatranje košavski vetr, tj. ESE do SE, onda vidimo, da je pri duvanju vetra iz ova dva pravca relativna vlaga manja od normalne u sva četiri godišnja doba. Naročito su suvlijiji vetrovi iz ESE i SE u toku leta i jeseni. Ovi naši podaci se dobro slažu sa navodima profesora Vujevića (1,333) da je relativna vlaga pri iakoj košavi manja nego pre početka ovog vetrusa, bez obzira da li se u isto vreme temperatura povisila, što je običan slučaj, ili se snizila, što je rednji slučaj. Izlaganja, koja je izneo S. Róna (16, 153), da se za vreme košave ne može konstatovati neko vanredno-smanjenje relativne vlage, ne slažu se u potpunosti sa našim podacima za vre-



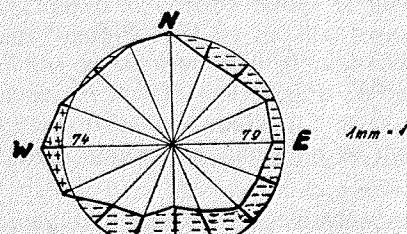
Sl. 17
Atmička ruža vetrova
(relativna vlaga)
zimi



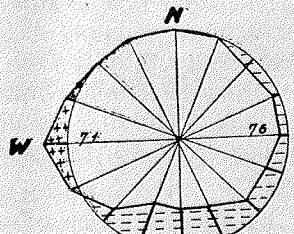
Sl. 18
Atmička ruža vetrova
(relativna vlaga)
u proleće



Sl. 19
Atmička ruža vetrova
(relativna vlaga)
u letu



Sl. 20 — Atmička ruža vetrova
(relativna vlaga) u jesen



Sl. 21
Atmička ruža vetrova
(relativna vlaga)
u godini

me zime. Po našim podacima izlazi da je razlika u relativnoj vlazi izmedju E i ESE vetrova 5%. Doduše, to nije neko naročito sniženje ali moramo imati u vidu da se ovde radi o srednjim vrednostima, i da svakako ima ekstrema.

Da bi odnosi relativne vlage po godišnjim dobima ili očigledniji prikazani su grafički na slikama 17, 18, 19, 20 i 21, na sličan način kao što su ranije prikazani odnosi temperature i absolutne vlage. Ovdje su dobivene takodje tzv. *atmičke ruže vetrova (relativne vlage)*.

Uporedjujući termičke ruže i atmičke ruže vetrova, kako za absolutnu tako i za relativnu vlagu, uočava se odmah koliko se njihovi odnosi podudaraju. Pravcima veta sa višim temperaturama odgovaraju veće vrednosti absolutne vlage, a manje vrednosti relativne vlage.

5. Oblačnost

Kao posledica uzajamnog dejstva izmedju temperature vazduha, absolutne i relativne vlage, a naravno i pravca i brzine veta, jeste oblačnost, odnosno stepen pokrivenosti neba oblacima. Iz toga razloga su obradjeni za isti period i na isti način kao i za druge elemente i podaci oblačnosti, koji su prikazani u tablici 8.

Vrednosti iz tablice 8 pokazuju da je, u svima godišnjim dobima, najmanja srednja oblačnost pri duvanju vetrova sa jugoistoka, odnosno pri košavi, a najveća pri zapadnim i severozapadnim vetrovima. Ovo isto važi i za godišnji tok oblačnosti.

Ima pojedinih meseci i godišnjih doba kod kojih maksimum ili minimum oblačnosti padaju na druge pravce veta, npr. u januaru je maksimum oblačnosti (92%) pri NE vetrusu, a u maju je minimum oblačnosti (50) pri ENE i SSE vetrusu. Međutim, ovi pravci imaju znatno manje čestine od severoistočnih i zapadno-severozapadnih vetrova, te se zato ovakve vrednosti ne mogu smatrati kao merodavne.

Dosta male vrednosti oblačnosti su i pri tišinama, a u pojedinim mesecima (III, IV i V) ove vrednosti su i minimalne. Ovako male vrednosti oblačnosti pri tišinama ne slažu se sa podacima relativne vlage pri tišinama (tabl. 7), koji preko cele godine imaju dosta velike vrednosti, a u junu i oktobru čak i maksimalne.

Mi ovu pojavu objašnjavamo na sledeći način: Relativna vlaga vazduha pri zemlji je u velikoj zavisnosti od temperature. Pri tihom vremenu, kao što je poznato, noćna radijacija je jača nego pri vetrovima, usled čega je i srednja dnevna temperatura pri tišinama dosta niska (tabl. X). Ovo nastaje zato, što se pri određivanju srednje dnevne temperature uzimaju kao sabirci procitane vrednosti temperature u 7, 14 i 21 čas. Međutim, vrednosti temperature u 21 čas padaju u ono vreme kada na temperaturni tok deluje samo radijacija a vrednosti u 7 časova padaju u ono vreme kada je Sunce ili još dosta nisko ili čak, u pojedinim mesecima, nije ni izašlo, tako da je još uvek veliki uticaj noćne radijacije na tok temperature. Prema tome, ove dve temperature koje stoje pod većim uticajem noćne radijacije prouzrokuju nižu srednju dnevnu temperaturu pri tihom vremenu. Sa ovom nižom temperaturom vezana je i veća relativna vlaga.

Što se tiče oblačnosti pri tihom vremenu, stvar stoji ovačko: oblaci se stvaraju na visini, gde ne vladaju isti odnosi u vlažnosti vazduha kao pri zemlji. Za stvaranje oblaka potrebno je da je vazduh zasićen i presičen vodenom parom i još da u vazduhu ima kondenzacionih jezgra. Vazduh će biti zasićen

Srednja vrednost oblačnosti pri vetrovima iz raznih pravaca i pri tišinama u Beogradu
za period 1920—1945, u % pokrivenosti neba

	N	NNE	NE	E	ESE	SE	SSE	S	SSW	SW	WSW	W	NNW	NW	NNW	C
I	90	91	92	86	73	64	63	66	71	60	72	82	83	79	89	72
II	76	84	84	70	73	62	55	63	62	48	61	79	79	72	75	59
III	70	74	73	72	53	53	57	62	68	59	64	80	68	77	73	65
IV	63	60	52	64	63	58	56	67	56	59	73	66	69	72	73	66
V	52	59	51	50	54	58	56	61	54	50	63	59	67	58	63	52
VI	54	57	57	72	56	33	38	49	46	56	58	47	63	61	65	66
VII	45	46	28	40	29	27	24	31	35	36	35	46	52	56	52	46
VIII	41	32	33	45	35	24	23	49	39	35	42	56	58	54	49	49
IX	59	49	33	43	47	26	31	37	42	61	57	53	64	62	66	66
X	75	52	52	84	60	39	43	42	53	45	62	81	74	68	72	72
XI	86	82	90	75	68	55	61	66	75	60	69	88	84	80	83	77
XII	88	86	84	82	77	76	64	66	70	78	73	83	86	87	89	88
God.	67	64	60	65	57	48	48	54	56	54	61	68	71	69	71	67
Zima	85	87	87	79	74	67	61	65	68	62	69	81	83	79	84	82
Proleće	62	64	59	62	57	56	56	63	59	56	67	68	69	69	61	59
Leto	47	45	39	52	40	28	28	40	42	45	50	58	57	57	54	50
Jesen	73	61	58	67	58	46	45	48	57	55	63	74	74	70	74	72

Tablica 8

vodenom parom u najviše slučajeva pri njegovom naglom hladjenju što se najčešće dogadja pri adiabatskim procesima u atmosferi, odnosno pri konvektivnim i uzlaznim strujama, koje karakterišu labilno stanje u atmosferi. Međutim, pri tihom vremenu i jakoj noćnoj radijaciji, najčešće se obrazuju prizemne noćne inverzije, koje se često i produže i do neko doba dana. Pri tim niskim inverzijama vazduh je u stabilnoj ravnoteži, i kondenzacija nije intenzivna. Oblaka može biti, ali su oni tanki i slojevit i ne pokrivaju celo nebo. Ovo se naročito događa u toku noći. Mi iz iskustva znamo, da su tihe noći i najvrednije noći. Kao što se iz tablice 8 vidi, čak i u decembru, kada je

oblačnost inače u toku godine najveća, pri tihom vremenu ona je bliža minimalnoj oblačnosti, koja pripada SE vetru, nego maksimalnoj, koja pripada NW vetru.

Naročito mala oblačnost zapaža se pri tihom vremenu u martu, aprilu i maju. Ovo je opet vezano za stabilitet i labilitet atmosfere. U ovim mesecima u naše krajeve (oko Beograda) je najčešće nadiranje morskog polarnog vazduha sa severa i severozapada (17,23). Ako taj vazduh stacionira iznad naših krajeva, on se po danu zagreva od podloge i obrazuju se konvektivne struje tj.: labilitet u atmosferi što ima za posledicu obrazovanje velike oblačnosti i prolaznih padavina. Međutim, po noći i u jutarnjim časovima, pri tihom vremenu, u takvom vazduhu vlada stabilitet sa pretežno vedrim vremenom. Dva terminska osmatranja (7 i 21 čas) pripadaju ovom stabilnom i vedrom, a samo jedno (14 čas) labilnom i oblačnom vremenu.

To bi po našem mišljenju bilo objašnjenje na napred postavljeno pitanje.

Što se tiče košavskog vetra, napred je rečeno, da je pri njemu oblačnost najmanja, što izlazi iz podataka u tablici 8. Ova mala oblačnost pri košavi potvrđuje fenski karakter ovog vetra (1, 334; 16, 161), koji strui od predela višokog ka predelu niskog vazdušnog pritiska.

Kada se uporede srednje vrednosti oblačnosti za suprotnе oktante, iz kojih se vetar najčešće javlja, tj. za oktante E do SE i W do NW, a takođe i tištine, dobiju se ovakvi rezultati:

XIX — Srednja vrednost oblačnosti pri vetrovima iz E do SE i W do NW oktanta i pri tišinama, u %

	I	II	III	IV	V	VI	VII	VIII	IX	X	XI	XII	god
E do SE (n)	67	63	54	59	56	42	27	27	35	47	61	72	51
W do NW (n)	84	75	73	72	63	63	53	55	64	72	82	87	70
Tištine	72	59	48	45	43	39	28	24	33	44	65	72	48
Razlika (n ₁ —n ₂)	17	12	19	13	7	21	26	28	29	25	21	15	19

Oblačnost je znatno manja pri vetrovima iz E do SE oktanta nego pri vetrovima iz suprotnog W do NW oktanta. Ova razlika iznosi u srednjoj godišnjoj vrednosti 19%. Prema tome i ovo nam potvrđuje, kao što je to napred pomenuto, da su vetrovi iz oktanta E do SE u Beogradu zaista padajući fenski vetrovi, koji uslovjavaju vedrije vreme.

Oblačnost pri tišinama ima skoro preko cele godine manju vrednost nego oblačnosti pri vetrovima iz napred navedenih oktanata, a međutim, relativna vlažnost pri tišinama (tabl. XVI) je prosečno veća nego pri ovim vetrovima. Uzrok ovakve pojave objašnjen je već ranije, pri objašnjenju male oblačnosti uopšte pri tišinama.

Inače godišnji tokovi oblačnosti, kako pri vetrovima iz suprotnih pravaca (E do SE i W do NW) tako i pri tišinama dosta se dobro slažu sa godišnjim tokovima relativne vlage (tabl. XVI). Maksimalne vrednosti oblačnosti su u novembru, a minimalne u julu i avgustu.

Ostupanja srednje vrednosti oblačnosti, pri svakom pravcu vetra i tištine, od normalne vrednosti, određićemo kao i za ostale meteorološke elemente.

Normalne vrednosti oblačnosti, bez obzira na pravac vetrova i tištine u Beogradu su ovakve:

XX — Normalne vrednosti oblačnosti u Beogradu za period 1920—1945 god.
bez obzira na pravac veta i tišine, u %

	XII	I	II	III	IV	V	VI	VII	VIII	IX	X	XI	god.
n ₁	75	72	65	60	58	54	50	38	36	42	52	68	56
n	zima 71			proleće 57			leto 41			jesen 54			56

Kada se izvedu otstupanja oblačnosti pri vetrovima iz raznih pravaca i pri tišinama od normalnih vrednosti oblačnosti dobiće se ovakve vrednosti:

XXI — Otstupanje srednje oblačnosti pojedinih pravaca veta u tišini
od normalne oblačnosti

	N	NNE	NE	ENE	E	ESE	SE	SSE	S	SSW	SW	WSW	W	WWN	NW	NNW	C
Zima	14	16	16	8	3	-4	-10	-6	-3	-9	-2	10	12	8	13	11	-3
Proleće	5	7	2	5	0	-1	-1	6	2	-1	10	11	11	12	12	4	-12
Leto	6	4	2	11	-1	-13	-13	-1	-1	1	4	9	17	16	16	13	-11
Jesen	19	7	4	13	4	-14	-9	-6	3	1	9	20	20	16	20	18	-7
God.	11	8	4	9	1	-8	-8	-2	0	-2	5	12	15	13	15	11	-8

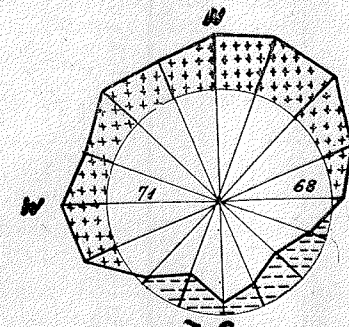
Negativno otstupanje oblačnosti u toku godine ističe se, naročito pri vetrovima iz ESE i SE pravaca i pri tišinama, a pozitivno pri vetrovima od SW preko W i N do FNE pravca. Pojedina godišnja doba, kao što pokazuju vrednosti u tablici, imaju izvesne izuzetke.

Na osnovi podataka iz tablice XXI može se reći, da vetrovi sa jugoistoka uslovjavaju dosta vedro vreme. Ovo isto važi i za tišine. Vetrovi sa zapadajuozapada pa sve do istoka-severoistoka uslovjavaju oblačno vreme.

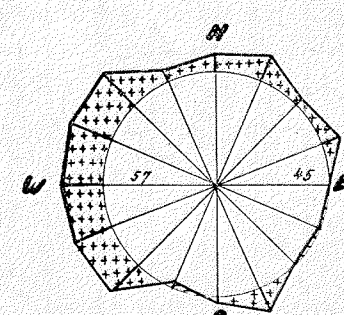
Ovi se podaci ne podudaraju u potpunosti sa otstupanjima kod relativne vlage (tabl. XVIII), za vetrove iz severnog kvadranta (NW do NE), a takođe i sa otstupanjima pri tišinama. Slučaj tišina smo već objasnili, a slučaj vetrova iz severnog kvadranta, mislimo, da nastaje iz sledećih razloga: Vazdušne mase koje struje iz severnog kvadranta i dolaze u naše krajeve u svakom slučaju su hladnije od vazduha koji se pre njih tu nalazio. Iz tog razloga one će uvek kao hladnije nastupati u prizemlju, a toplijih vazduh moraće da se uzdiže u vis. Na taj način pri jačem nadiranju ovog vazduha, obrazovaće se ascendentni tokovi koji će prouzrokovati veću oblačnost, a pri slabijem kretanju hladnog vazduha obrazovaće se visinske inverzije na čijoj se donjoj granici stvaraju slojevitoblaci. Vrlo je čest slučaj, da se pri duvanju vetra iz NW do NE pravca osmotri kretanje oblaka u sasvim suprotnom pravcu, što potvrđuje našu pretpostavku. Međutim, relativna vлага meri se u prizemnom vazduhu gde vladaju drugačiji uslovi, te zato i može doći do izvesnog neslaganja između podataka relativne vlage i oblačnosti.

Da bi se otstupanja srednje oblačnosti iz tablice XXI što očiglednije predstavila izneli smo ih na crtežima sl. 22, 23, 24, 25 i 26, tj. izradili smo *neficku ružu vetrova* za godišnja doba i godinu.

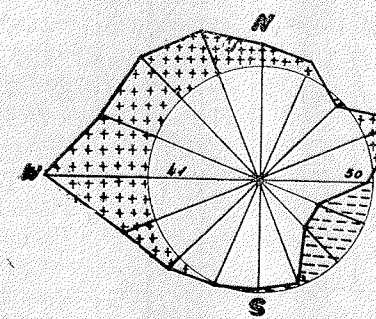
Sve što je rečeno ranije za grafičke prikaze ostalih elemenata važi i za grafičke prikaze oblačnosti.



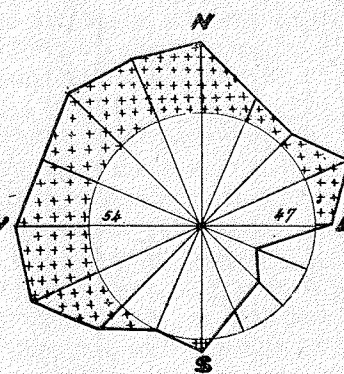
Sl. 22
Nefička ruža vetrova zimi



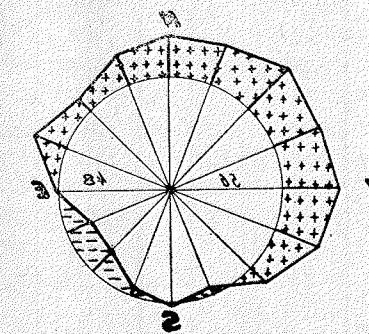
Sl. 23
Nefička ruža vetrova u proleće



Sl. 24
Nefička ruža vetrova leti



Sl. 25
Nefička ruža vetrova u jesen



Sl. 26
Nefička ruža vetrova u godini

6. Uzajamna veza između temperature, vlažnosti vazduha i oblačnosti pri vetrovima iz raznih pravaca i pri tišinama

O uzajamnoj vezi između ovih meteoroloških elemenata već je bilo donekle reči ranije pri analizi pojedinih elemenata. Ovde ćemo se još jednom dodataći ove uzajamne povezanosti i pretstaviti je ukoliko možemo detaljnije. Za

	N	NNE	NE	ENE	E	ESE	SE	SSE	S	SSW	SW	WSW	W	NNW	NW	NNW	C
Zima																	
Δt	-2.2	-1.7	-1.8	0.0	-0.6	0.3	1.9	3.9	5.5	6.7	2.8	1.1	-0.7	-1.2	-1.0	-1.0	-1.0
Δe	-0.5	-0.2	-0.3	0.0	-0.1	-0.2	0.3	0.6	0.8	0.9	0.4	0.3	-0.1	-0.4	-0.3	-0.4	-0.2
Δu	3	6	5	0	1	-4	-6	-9	-12	-16	-5	2	4	2	3	2	4
Δn	14	16	8	3	-4	-7/0	-6	-3	-9	-2	10	1/2	8	13	11	-3	
Δt	-1.9	-0.7	0.1	0.4	0.2	-0.1	1.1	3.3	3.5	3.9	2.4	0.6	-1.0	-1.1	-1.8	-1.2	-3.5
Δe	-0.8	0.1	-0.1	0.4	0.2	-0.1	0.4	0.3	0.2	0.4	0.5	0.3	0.1	-0.4	-0.7	-0.3	0.2
Δu	0	1	-2	0	0	-3	-3	-9	-9	-10	-4	2	6	2	2	0	3
Δn	5	7	2	5	0	-1	-1	6	2	-1	10	11	11	12	12	4	-12
Δt	0.9	1.5	2.3	2.7	1.4	2.6	2.1	4.9	4.4	2.9	0.8	-0.3	-2.3	-1.1	-0.4	0.0	-0.7
Δe	-0.8	-0.6	-0.3	0	0.2	0.5	0.1	0.7	0.5	0.3	0.3	0.2	0.0	-0.4	-0.7	-0.8	0.3
Δu	-4	-8	-10	-8	-6	-9	-7	-13	-12	-9	-1	3	9	2	-2	-4	6
Δn	6	4	2	11	-1	-13	-13	-1	-1	1	4	9	17	16	16	13	-11
Δt	-1.4	1.5	1.4	1.1	0.0	0.1	1.5	4.1	4.6	4.8	3.1	0.1	-1.7	-1.2	-1.	-1.4	-1.0
Δe	-0.6	0.2	0.3	0.1	-0.2	-0.4	0.2	0.7	0.9	1.1	0.5	0.2	-0.4	-0.5	-0.6	-0.6	0.2
Δu	1	-5	-5	-2	-3	-5	-5	-11	-13	-9	-7	2	5	2	-2	0	5
Δn	19	7	4	13	4	-14	-9	-6	3	1	9	20	20	16	20	18	-7

ovo će nam najbolje poslužiti podaci ostupanja pojedinih elemenata od njihovih normalnih vrednosti, koji su prikazani u tablicama: X, XV, XVIII i XXI.

Ako sada, za svako godišnje doba, uzmememo ostupanja kod sva četiri elementa dobijemo preglednu tablicu XXII prikazanu na strani 42 sa sledećim oznakama:

Δt = ostupanje temperature, u $^{\circ}\text{C}$

Δe = pritiska vodene pare, u mm Hg

Δu = relativne vlage, u %

Δn = oblačnosti, u %

Uzmimo prvo u rasmatranje podatke iz tablice XXII za zimsko godišnje doba. Ostupanja Δt i Δe skoro za sve pravce veta i tišine imaju iste predznačke sem ESE pravca. Maksimumi i minimumi padaju takođe na iste pravce. Prema toma izmedju ova dva elementa je uzajamna povezanost očigledna. Ostupanja Δu i Δn takođe za vetrove iz svih pravaca imaju iste predznačke, koji su manje više suprotni predznacima Δt i Δe . Jedino pri tišinama za Δu i Δn predznaci su različiti, o čemu smo već ranije govorili. Znači da postoji jasna uzajamna veza za sve pravce vetrova i izmedju ova dva elementa. Tokovi Δu i Δn su, dakle, suprotni tokovima Δt i Δe .

Uzajamna podudarnost izmedju Δt i Δe takođe se dosta dobro slaže u toku proleća. Razlika je samo kod tišina i kod zapadnog veta, gde Δt ima negativan predznak, a Δe pozitivan. Po ovome se može zaključiti, da su zapadni vetrovi, koji u proleće struže preko Beograda, dosta hladni vetrovi ali sadrže i dosta vodene pare u sebi. Međutim ukoliko vetar dolazi više iz severnijeg pravca on je sve hladniji ali ima i sve manje vodene pare u sebi. Maksimum i minimum za Δt i Δe , manje više, padaju na iste pravce vetrova. Ostupanja Δu i Δn u proleće se donekle razlikuju za pojedine pravce vetrova a naročito za tišine. Ova razlika se ispoljava kod vetrova iz NE, SSE, S i SW pravca. Ovi vetrovi, iako imaju manju relativnu vlagu od normalne, odlikuju se većom oblačnošću od normalne. U svakom slučaju ova se oblačnost može protumačiti mešanjem toplog tropskog vazduha sa juga sa hladnim polarnim vazduhom sa severa, koji je pre njega došao u predeo Beograda. Inače odnos relativne vlage prema temperaturi i apsolutnoj vlazi dosta se dobro podudara.

Leti odnosi ovih elemenata postaju još zamršeniji. Ostupanje Δt dово se podudara sa ostupanjem Δu , ali se ne podudara sa Δe kako za tišine tako i za vetrove od NNW do NE pravca. Ostupanje oblačnosti Δn takođe se razlikuje od ostupanja relativne vlažnosti Δu naročito za vetrove od NW do ENE, a takođe i tišine. Maksimalne vrednosti za Δt i Δe padaju ipak na isti pravac veta a minimalne vrednosti padaju na različite pravce. Isto tako i maksimalne vrednosti za Δu i Δn padaju na isti pravac veta, a minimalne na različite. U toku leta je naročito karakteristično, da vetrovi iz severoistočnog kvadranta imaju višu temperaturu od normalne, ali ovi vetrovi u isto vreme sadrže manju količinu vodene pare od normalne. Mada ovi vetrovi imaju manju relativnu vlagu od normalne, pri njihovom duvanju oblačnost je veća od normalne. Viša temperatura pri ovim vetrovima od normalne nastaje zato, što je u toku leta u Beogradu veliki broj čestina W veta (tablica I i tablica II), koji ima dosta nisku temperaturu. Prema tome, zapadni hladniji vetar svojom čestinom i hladnoćom utiče na opšte sniženje normalne temperature. Vetrovi iz NE kvadranta su, u odnosu na ovaku normalnu temperaturu, toplijii.

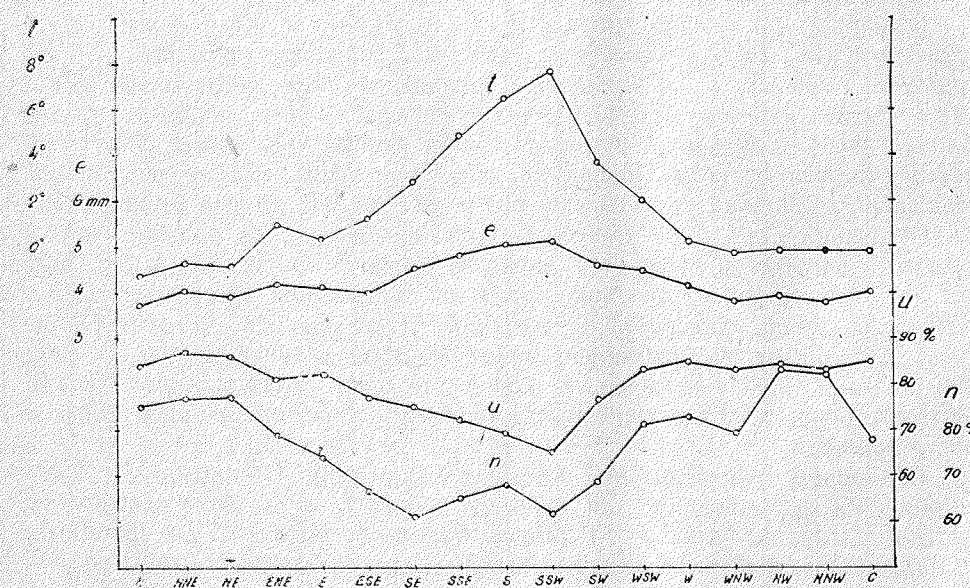
A budući da su to kontinentalne arktičke i polarne vazdušne mase to one sadrže manju količinu vodene pare u sebi.

Kod jesenjih podataka imaju Δt i Δe skoro pri svima vetrovima iste predznake, sem tišina i E i ESE pravca. Međutim Δu i Δn se dosta razlikuju. Ipak se Δu skoro za sve pravce vetra, sem WSW i NW, dobro slaže sa Δt , tj. ima obrnuti tok. Maksimumi za Δt i Δe padaju na isti pravac veta, a minimumi na različite pravce. Isti je slučaj i sa Δu i Δn .

ZAKLJUČAK

Dosadašnjim izlaganjima i brojnim vrednostima određene su fizičke osobine pojedinih prizemnih vetrova u Beogradu, odnosno izvršena je analiza vazdušnih masa, koje u pojedinim godišnjim dobima struje iz raznih pravaca preko Beograda.

Da bi ovo bilo još preglednije i da bi se mogao izvući opšti zaključak, prikazaćemo grafički sva četiri meteorološka elementa (temperaturu, apsolute



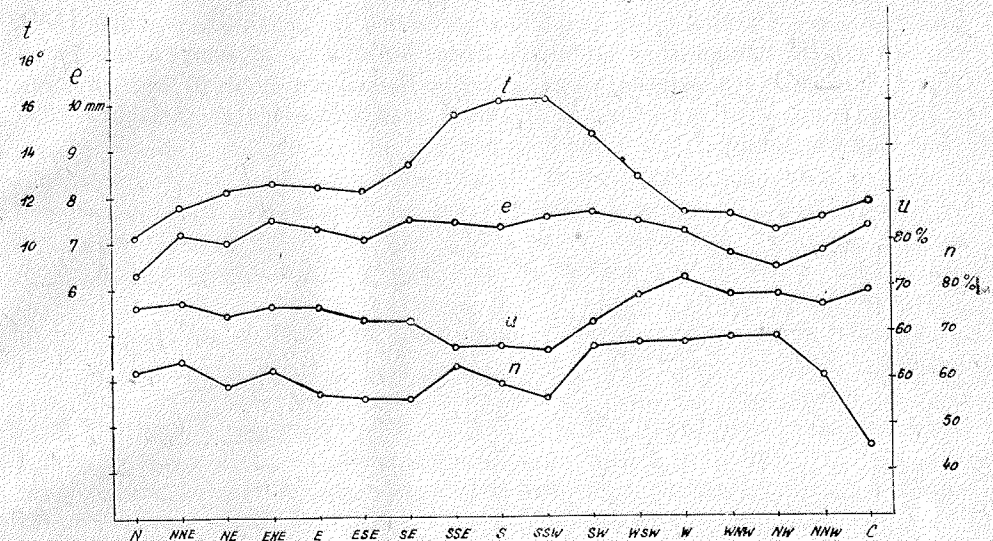
Sl. 27 — Uzajamni odnosi temperature (t), apsolutne vlage (e), relativne vlage (u) i oblačnosti (n) — zimi

tnu i relativnu vlagu i oblačnost) u funkciji od pravca vetra i tišina. Krive linije, koje pretstavljaju pojedine elemente, nacrtane su u koordinantnim sistemima, u kojima su po ordinati uzete brojne vrednosti ovih elemenata, u jedinicama u kojima se oni inače izražavaju, a po apscisi pravci vetra i tišine.

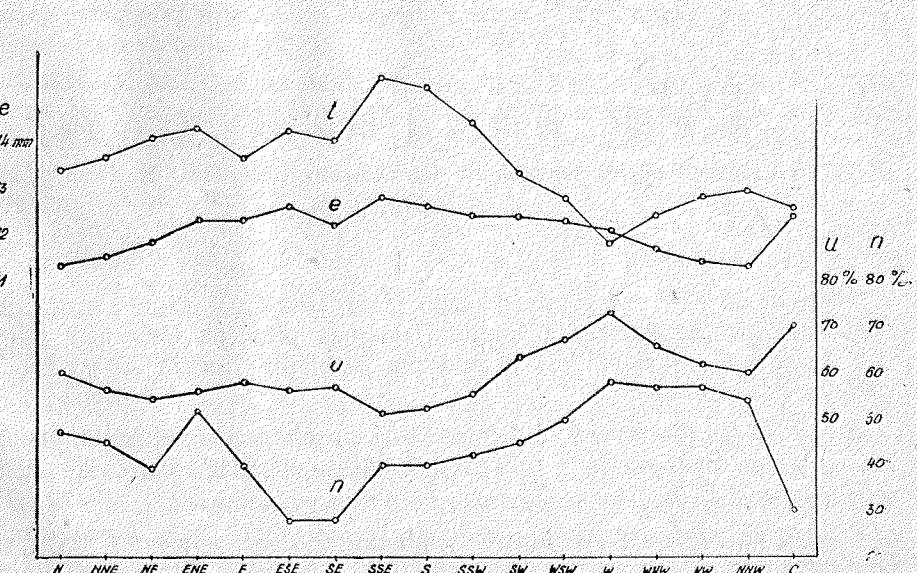
Ovakvi grafički prikazi za pojedina godišnja doba izneti su na slikama 27, 28, 29 i 30.

Na ovim crtežima mogu se lako uočiti promene pojedinih meteoroloških elemenata pri vetrovima iz raznih pravaca i pri tišinama.

Rasmotrimo prvo promenu meteoroloških elemenata u toku zime (sl. 27). Temperatura (t) prvo blago raste od N do NNE, a zatim blago opada do NE.

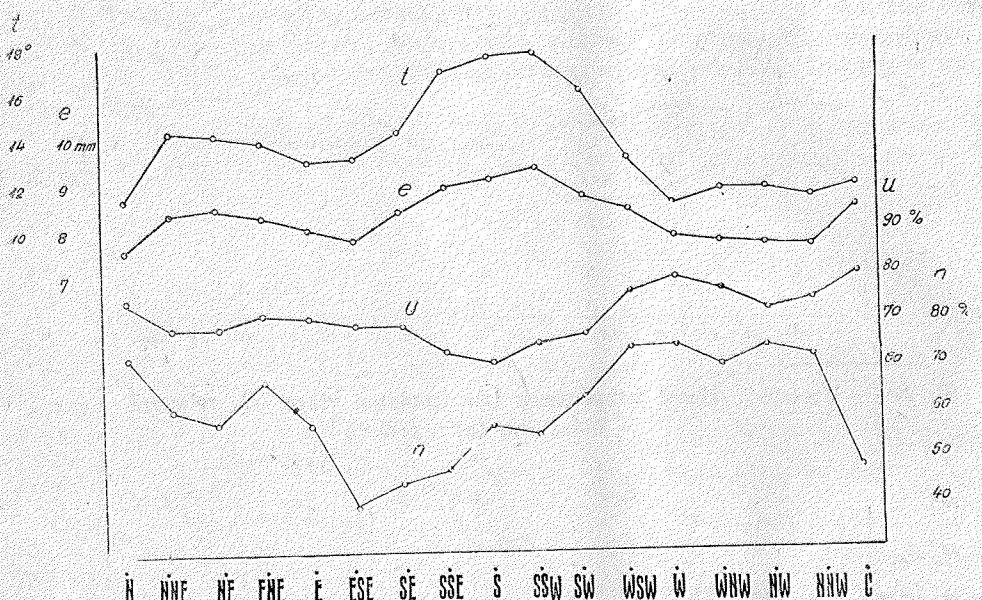


Sl. 28 — Uzajamni odnosi temperature (t), apsolutne vlage (e), relativne vlage (u) i oblačnosti (n) u proleće



Sl. 29 — Uzajamni odnosi temperature (t), apsolutne vlage (e), relativne vlage (u) i oblačnosti (n) — leti

Sličan ovakav tok ima i absolutna vлага (e). Relativna vлага (u) i oblačnost (n) imaju takođe iste ovakve tokove, što pretstavlja anomaliju. Prema tome, mi smatramo, da vazduh koji struji zimi preko Beograda, a dolazi iz N do NE pravca, pre pripada kontinentalno polarnom vazduštu, nego kontinentalno arktičkom vazduštu. Ovo se može ustanoviti ako uporedimo temperaturu za zimske mesece (tablica 5) sa podacima iz tablice I. Za arktički vazduh (AV), kao što izlazi, temperatura iz tablice 5 je nešto viša od temperature iz tablice I. Isto tako i absolutna vлага je nešto malo veća (tabl. 6) nego u tablici I. Međutim, relativna vлага iz tablice 6 se dobro slaže sa podacima relativne vlage iz tablice I.



Sl. 30 — Uzajamni odnosi temperature (t), absolutne vlage (e), relativne vlage (u) i oblačnosti (n) u jesen

Od NE do ENE temperatura naglo raste, absolutna vлага takođe raste a relativna vлага i oblačnost opadaju. Uzajamna promena elemenata nam govori da se ovde svakako radi o fenskom strujanju kontinentalnog polarnog vazduha preko Karpata.

Od ENE do E temperatura nešto opada, absolutna vлага takođe opada, relativna vлага malo raste, a oblačnost i dalje opada. Meteorološki elementi, sem oblačnosti, i kod ovog strujanja se dobro podudaraju.

Od E pa sve do SSW pravca temperatura raste, absolutna vлага uglavnom takođe raste, a relativna vлага opada. Oblačnost ima nešto nepravilan tok, jer se povećava između SE i S, a zatim ponovo opada do SSW. Uglavnom može se reći da su vetrovi od E do SSW sve toplijii, da sadrže u sebi veću količinu vodene pare, ali da im je stepen zasićenosti manji, i zato podržavaju manje više vedrije vreme.

Kako temperatura i absolutna vлага skoro ravnomerne rastu od E do SSW, a relativna vлага takođe ravnomerne opada, to se ne može utvrditi tačna granica između polarnih i tropskih struja. Jedino prema oblačnosti izgleda da vazdušne struje od E do SE imaju osobine kontinentalno polarnih masa, a od SE do SSW osobine kontinentalno tropskih masa. Podaci temperature za ove pravce ne slažu se sa Sinceovim podacima iz tablice I, tj. oni se dosta razlikuju od temperature zimskih meseci kako za AV tako i za TV.

Od SSW do WNW temperatura opada; absolutna vлага takođe, a relativna vлага uglavnom raste. Oblačnost raste od SSW do W a zatim do WNW opada. Naročito pada u oči da je između SSW i SW veliki pad temperature i absolutne vlage, veliki porast relativne vlage i oblačnosti. Ovakvi podaci nas navode da pretpostavimo da je tu granica između kTV i mTV, tj. kontinentalno tropske vazdušne mase dolaze prema Beogradu iz oktanta SSE do SSW, a morske tropske vazdušne mase iz pravca SW do W.

Od W do N pravca temperatura ostaje nepromenljiva, absolutna i relativna vлага takođe. Oblačnost ima veliki porast pri vetrovima iz NW pravca. Ovo je svakako u vezi sa dolaskom morskih arktičkih i polarnih vazdušnih masa koje pri svome upadu donose i veliko naoblačenje. Ove vazdušne mase (tabl. 5) imaju temperaturu višu od AV iz tablice I, ali vrednosti absolutne i relativne vlage dosta se dobro slaže sa vrednostima iz tablice I za AV. Viša temperatura dolazi svakako zbog dužeg putovanja prema jugoistoku i zagrevanju na ovom putu.

Proljećna situacija (sl. 28) u pogledu temperature dosta se dobro podudara sa zimskom. Temperatura raste od N do ENE a zatim opada do ESE. Sličan tok ima i absolutna vлага, sa nekim manjim izuzecima. Relativna vлага i oblačnost u ovom azimutalnom rastojanju imaju donekle kolebitiv tok, ali im se brojne vrednosti ne menjaju znatno. Ovo ukazuje na postojanost kPV koji strui iz ovih pravaca.

Od ESE do SSE postoji nagli porast temperature, a od SSE do SSW taj se porast donekle smanjuje. Apsolutna vlag u ovom intervalu ima nešto promenljiv tok, ali uglavnom i ona je u slabom porastu. Relativna vlag opada, a oblačnost ima jedan znatniji porast pri SSE vetrui a zatim opada pri vetrovima iz S i SSW pravca. Naročito je karakteristična pojava u proljeće, da je temperatura znatno viša pri SSE vetrui nego pri SE, a da je relativna vlag znatno manja. Međutim oblačnost se takođe znatno poveća pri SSE vetrui. I ovo nam ukazuje, da su vazdušne struje od N do SE pravca sa kontinentalno polarnim osobinama, a od SSE dolaze vazdušne mase sa kontinentalno tropskim osobinama. Srednja temperatura pri dolasku kPV u toku proljeća iz pravca od N do SE je znatno viša od temperature date u Sinceovoj tablici I. Ovo isto važi i za absolutnu vlagu, dok je relativna vlag manja. Što se tiče temperature pri vetrovima od SSE do SSW pravca ona se dosta dobro podudara sa temperaturom iz tablice I za TV.

Od SSW do W temperatura dosta naglo opada, a relativna vlag takođe dosta naglo raste. Apsolutna vlag opada postepeno. Oblačnost pri SW naglo raste, a zatim ostaje bez promene. Prema tome, i po ovim podacima možemo zaključiti, da nam kTV dolazi sa SSW, a iz SW pravca da nam dolazi mTV.

Od W do NW temperatura opada nešto sporije, a zatim blago raste. Isto se ovako ponaša i absolutna vlag. Međutim relativna vlag opada prvo brže.

a ztim sporije, što nije u skladu sa temperaturnim tokom. Oblačnost je stalna od W do NW, a zatim naglo opada, pri NNW vetu.

Temperatura pri zapadnim i severozapadnim vetrovima je znatno viša od temperature u tablici I za AV. Na osnovi toga može se zaključiti da vetrovi iz pravaca donose morsko-polarne vazdušne mase.

Slika 29 na kojoj su pretstavljeni meteorološki elementi za vreme leta, pokazuje takodje neke karakteristične osobenosti. Temperatura raste od N do ENE. U istom ovom rastojanju raste i apsolutna vlaga. Relativna vlaga prvo opada od N do NE, a zatim blago raste. Što se tiče oblačnosti ona ima dosta oštре promene sa promenom pravca vetra. Od N do NE oblačnost opada, a zatim pri ENE vetu oblačnost naglo poraste. Ovaj nagli porast oblačnosti pri ENE vetu ne slaže se sa tokovima ostala tri elementa. Inače pada u oči, da je temperatura viša pri vetu iz ENE pravca, nego pri vetrovima iz susednih pravaca (NE i E) u sva tri do sada opisana godišnja doba.

Pri E vetu temperatura osetno opada, apsolutna vlaga ostaje nepromenjena, a relativna vlaga se postepeno povećava. Oblačnost naglo opada što se opet ne slaže sa ostala tri elementa. Od E do ESE temperatura raste a zatim opada do SE. Apsolutna vlaga ima isti tok kao i temperatura, a relativna vlaga se ponaša obrnuto. Oblačnost opada do ESE, a zatim je bez promene. Vazdušne mase koje dolaze iz kvadranta NE su kontinentalne polarne vazdušne mase, a njihova temperatura je viša čak i od temperature TV iznete u tablici I. Znači ovaj vazduh u svome dugom strujanju iznad toplog kontinenta zagreva se od zemljine površine i temperatura mu prelazi temperaturu TV. Apsolutna i relativna vlaga, pri strujanju ovih vazdušnih masa su manje nego što je po Šinceovim podacima u tabl. I.

Nagli porast temperature i apsolutne vlage je pri SSE vetu, a u isto vreme i pad relativne vlage. Ovo nam dokazuje, da vazdušne mase koje struje u prizemnim slojevima iznad Beograda pri ovom vetu imaju sasvim naročite fizičke osobine. Te mase imaju višu temperaturu nego TV u Srednjoj Evropi prema tablici I, a manju apsolutnu i relativnu vlagu. U svakom slučaju to su kontinentalne tropske vazdušne mase.

Oblačnost se povećava pri dolasku ovih vazdušnih masa, što smatramo da nastaje usled uzdizanja toplog vazduha po klinu hladnog vazduha, ili usled mešanja toplog i hladnog vazduha na izvesnoj visini, pri dolasku TV.

Od SSE pa sve do W temperatura opada, apsolutna vlaga opada takođe, a relativna vlaga i oblačnost rastu. Dakle, sva četiri elementa se pravilno ponašaju sa promenom pravca vetrova. Zapadni vjetar, kao što se vidi, ima najnižu temperaturu, najveću relativnu vlagu, najveću oblačnost, ali ne i najmanju apsolutnu vlagu.

Od W do NNW temperatura raste, relativna vlaga opada, oblačnost opada takođe, ali opada i apsolutna vlaga. Na osnovi ovakvih podataka može se zaključiti, da zapadni vjetar u Beogradu donosi, preko leta, najhladnije i najvlažnije morske polarne vazdušne mase, koje se formiraju, kao što je napred rečeno, u stacionarnim anticiklonima na višim širinama iznad Atlantskog Okeana. Ovi vetrovi, kao što je napred rečeno, prave od Okeana do Beograda kraći put nego vetrovi od WNW do NNW pravca; zato oni i imaju takve izrazite fizičke osobine morsko polarnog vazduha.

Kod jesenjeg dijagrama (sl. 30) vidi se nagli porast temperature, porast apsolutne vlage, a pad relativne vlage i oblačnosti od N do NNE. Temperatura, apsolutna i relativna vlaga ostaju bez zнатне promene od NNE do ENE, a oblačnost ima nagli porast pri ENE vetu, što je slučaj i leti, i u proleće samo u blažoj formi. Ova pojava naglog porasta oblačnosti pri vetrovima iz ENE svakako da nastaje usled visinskog strujanja vlažnijeg vazduha iz sasvim suprotnog pravca (WSW). Zato je ovaj porast i najistaknutiji u toku leta, kada su razlike u fizičkim osobinama prizemnog hladnijeg vazduha iz ENE i visinskog toplijeg iz WSW najveće. Temperatura dalje opada prema E, apsolutna vlaga takođe. Relativna vlaga se znatno ne menja a oblačnost dosta naglo opada pri E vetu.

Od ESE do SSW temperatura raste, apsolutna vlaga isto tako. Relativna vlaga opada do S pravca, a zatim raste. Međutim, oblačnost naglo opada do ESE a zatim raste sve do WSW. Jesenji tok oblačnosti dobro se podudara sa letnjim tokom oblačnosti. I ovde se jasno vidi da vetrovi iz SSE do SSW donose kontinentalne tropske vazdušne mase, sa visokom temperaturom, dosta velikom apsolutnom vlagom i povećanom oblačnošću.

Idući dalje prema zapadu temperatura vazdušnih struja je sve niža, tako da je pri zapadnom vetu najniža, a relativna vlaga sve veća i pri zapadnom vetu najveća. Apsolutna vlaga se upravlja prema temperaturi, a oblačnost se dobro slaže sa relativnom vlagom. Kod zapadnog veta izgleda da opet nastaje smena vazdušnih masa, tj. da nam mTV dolazi od SSW do W, a zatim pri W vetu da se radi o dolasku mPV. Od W do NNW temperatura se znatno ne menja, apsolutna vlaga takođe. Relativna vlaga je u malom padu, a oblačnost ima nešto promenljiv tok. Dakle vazdušne mase koje iz ovih pravaca dolaze imaju ujednačene fizičke osobine. Temperatura ovih vazdušnih masa je viša od temperature AV (tabl. I), isto tako i apsolutna vlaga je veća, dok se relativna vlaga dosta dobro slaže.

Pored opšte analize fizičkih osobina vetrova u Beogradu iznećemo u posebnom delu još neke meteorološke pojave pri raznim vetrovima i tišini.

III DEO

METEOROLOŠKE POJAVE PRI VETROVIMA IZ RAZNIH PRAVACA I PRI TIŠINAMA

Kao što je napred izneto, pravac i brzinu vetra utiču na ostale meteorološke elemente, a samsim tim uslovljavaju i izvesne vremenske prilike u dočinom mestu. Prema tome, kakvo će vreme biti u Beogradu zavisiće od toga kakve vazdušne mase, i u koje godišnje doba, struje iznad Beograda. Da bi se još bolje istaklo kako pojedini vetrovi utiču na vremenski karakter beogradskog podneblja, obradjeni su još izvesni meteorološki podaci iz kojih se ovo može donekle učiti.

1. Čestina veoma vlažnih i veoma suvih stanja u prizemlju pri vetrovima iz raznih pravaca i pri tišinama na osnovi terminskih osmatranja

Poznato je, da količina vodenih pare u vazduhu, a takodje i stepen zasićenosti vazduha vodenom parom, prouzrokuju meteorološke pojave, kao što su stvaranje oblaka, kiše, snega itd. Ukoliko je vazduh vlažniji, tj. ukoliko se njegova vlaga bliži maksimumu, utoliko se pre mogu očekivati padavine iz vazduha. Naprotiv malai relativna vlaga karakteriše suvo vreme.

Imajući ovo u vidu iznećemo na prvom mestu čestinu trenutnih veoma vlažnih i veoma suvih stanja u prizemlju, koja su nastala pri izvesnim pravcima vetra i tišinama, a koja su osmotrena u jednom od terminskih osmatranja (7, 14 i 21 čas). Kao veoma vlažna stanja uzeti su u obzir oni slučajevi u kojima je relativna vlaga bila veća od 90%, a kao veoma suva stanja kada je relativna vlaga bila manja od 30%. Čestine ovih stanja za vetrove iz raznih pravaca i tišine iznete su u tablicama 9 i 10.

Brojevi u napred iznetim tablicama predstavljaju procenat čestina veoma vlažnih i veoma suvih stanja u vazduhu na 2 metra visine iznad zemlje, kada se ukupan broj čestine vetra iz dočinog pravca uzme kao 100%.*)

Vrednosti iz tablice 9 pokazuju, da je najmanja čestina veoma vlažnih stanja poglavito pri vetrovima od ESE do SSW pravca, tj. pri košavi i južnim vetrovima. Zimi imaju veliku čestinu veoma vlažnih stanja vetrovi iz

*) Na primer: vjetar iz N pravca pojavio se u januaru, u periodu za 26 godina 85 puta, a relativna vlaga pri ovom vetrui bila je 40 puta $> 90\%$. Prema tome odnec $\frac{40}{85} = 0,47$ ili 47% predstavlja čestinu veće relativne vlage od 90% pri severnom vetrui

severnog kvadranta, kao i vetrovi zapadnog oktanta. Leti se ističe veoma veliki broj čestina pri vetrovima sa zapada i njemu susednim. Naročito je velika razlika između srednjeg broja čestina pri vetrovima od E do SE oktanta i vetrovima W do NW oktanta. Uporedjenjem ovih srednjih vrednosti, kao i vrednosti čestina pri tihom vremenu, dobije se rezultati izneti u tablici XXIII na strani 52.

Podaci iz ove tablice pokazuju da je znatno veća čestina vlažnih vetrova sa zapada do severozapada prema vetrovima sa istoka do jugoistoka. Isti tako je, u hladnjim mesecima, velika čestina veoma vlažnih stanja pri

Tablica 9

	N	NNE	NE	ENE	E	ESE	SE	SSE	S	SSW	SW	WSW	W	NNW	NNW	C	
I	47	52	50	20	31	9	10	11	19	—	29	36	44	29	39	32	41
II	32	38	41	10	16	8	9	5	10	—	18	24	32	24	30	12	32
III	23	23	40	17	13	6	5	6	6	—	11	22	20	20	23	15	19
IV	12	12	6	—	6	4	5	7	4	2	13	17	18	11	19	9	10
V	5	15	—	8	12	5	4	2	4	8	5	15	19	16	9	20	11
VI	12	17	4	12	15	1	4	3	4	12	13	7	23	14	12	8	9
VII	6	7	2	—	3	—	1	6	7	—	5	7	16	13	7	4	6
VIII	6	—	1	—	5	3	3	7	12	—	8	18	21	10	13	11	9
IX	11	8	7	—	6	1	1	2	2	4	9	13	31	17	13	11	21
X	27	17	24	12	9	6	5	11	16	39	39	33	19	29	33	48	52
XI	53	35	36	30	17	10	15	10	17	20	25	47	50	48	34	43	53
XII	47	48	52	36	19	8	14	13	11	39	46	44	56	46	52	53	53

Godišnji tok čestine relativne vlage $> 90\%$ pri vetrovima iz raznih pravaca i pri tišini u momentu terminskih osmatranja u Beogradu, u procentima

tihom vremenu, što je naravno u vezi sa niskom temperaturom koja u tim mesecima vlada pri tihom vremenu.

Čestina veoma suvih stanja, tj. sa relativnom vlagom manjom od 30% (tabl. 10), najveća je u toku leta pri južnim vetrovima i njemu susednim.

2. Čestine potpuno oblačnih i potpuno vedrih stanja neba, pri vetrovima iz raznih pravaca i pri tišinama na osnovi terminskih osmatranja

U vezi sa veoma vlažnim i veoma suvim stanjima u vazduhu na 2 m. visine iznad zemlje, mogu se uzeti dalje u rasmatranje i slučajevi potpuno oblačnog i potpuno vedrog neba. Kao potpuno oblačna stanja uzeta su ona u kojima je oblačnost pri terminskim smatranjima bila 10 odnosno 100% pokrivenosti neba, a kao vedra u kojima je oblačnost bila 0, tj. potpuno vedro. Takve čestine oblačnosti iznete su u tablici 11 i 12. Brojevi u ovim tablicama, kao i u tablicama 9 i 10, predstavljaju procenat čestine potpuno oblačnog i potpuno vedrog neba, ako se ukupan broj čestine vetra iz dotičnog pravca uzme kao 100%.

XXIII — Čestina relativne vlage $>90\%$ pri vetrovima iz E do SE i W do NW oktanta

Meseci oktanti \	I	II	III	IV	V	VI	VII	VIII	IX	X	XI	XII
E do SE	17	11	8	5	7	7	1	4	3	15	14	14
W do NW	37	29	21	16	15	16	12	15	20	30	44	49
tišine	41	32	19	10	11	9	6	9	21	38	48	53

Prema podacima iz tablice 11 izlazi sledeće: U zimskim mesecima najveći je procenat potpuno oblačnih stanja pri vetrovima iz severnog kvadranta, a najmanja pri vetrovima iz južnog oktanta. Dosta je mali procenat potpuno oblačnih stanja pri košavi. U toku proleća najveći procenat potpuno oblačnih stanja je pri vetrovima od WSW do NW pravca, a najmanji opet pri vetrovima iz južnog oktanta, mada se u mesecu maju najmanji procenat pomera na NE oktant. Za vreme leta je najviše potpuno oblačnih stanja pri vetrovima iz oktanta od W do NW a najmanje pri vetrovima sa istoka do juga, i pri tišinama. Za vreme jeseni zapadni i severni vetrovi imaju najveći procenat potpuno oblačnih stanja a vetrovi iz južnog kvadranta najmanji.

Mesečni tokovi čestina potpuno vedrog neba, pri raznim vetrovima i tišinama iz tablice 12 stoje u obrnutom odnosu sa čestinama potpuno oblačnog neba iz tablice 11. Najveće čestine ovde uglavnom padaju, preko cele godine, na vetrove od E do SW i tišine, a najmanje na vetrove severnog kvadranta.

Ako se uzme srednja vrednost čestina potpuno oblačnih stanja neba sa jedne strane za čisto košavski vetar (ESE do SE), a sa druge strane za oktant W do NW, a sini toga i za tišine dobiće se vrednosti kao na tablici XXIV.

Čestine potpuno oblačnih stanja pri košavi znatno su manje od čestine pri vetrovima iz W do NW oktanta. Ovde se takođe ispoljava fenski karakter košavskog vetra, sa jedne strane, i velika vlažnost vetrova sa zapada i severozapada, koji donose morske polarne vazdušne mase. Pri tihom vremenu čestina potpuno oblačnih stanja je dosta velika u zimskim mesecima, a mala u letnjim.

XXIV — Čestina potpuno oblačnih stanja pri vetrovima iz ESE do SE i W do NW pravaca i pri tišini

Meseci oktanti \	I	II	III	IV	V	VI	VII	VIII	IX	X	XI	XII
ESE do SE	36	31	29	28	18	7	5	5	7	16	31	40
W do NW	68	55	50	41	28	28	22	22	39	48	60	74
tišina	57	43	27	20	15	13	6	7	14	23	46	58

Tablica 10

Godišnji tok čestine relativne vlage $<30\%$ pri vetrovima iz raznih pravaca i pri tišini u momentu terminskih osmatranja u Beogradu, u procentima												
N	NNE	NE	E	ESE	SE	SSE	S	SSW	SW	WNW	NW	NNW
I	—	—	—	—	—	—	—	—	—	—	—	—
II	—	—	—	—	—	—	—	—	—	—	—	—
III	2	1	—	—	—	—	—	—	—	—	—	—
IV	6	3	—	—	—	—	—	—	—	—	—	—
V	3	—	—	—	—	—	—	—	—	—	—	—
VI	2	—	—	—	—	—	—	—	—	—	—	—
VI	3	—	—	—	—	—	—	—	—	—	—	—
VII	5	—	—	—	—	—	—	—	—	—	—	—
VIII	—	—	—	—	—	—	—	—	—	—	—	—
IX	—	—	—	—	—	—	—	—	—	—	—	—
X	—	—	—	—	—	—	—	—	—	—	—	—
XI	—	—	—	—	—	—	—	—	—	—	—	—
XII	—	—	—	—	—	—	—	—	—	—	—	—

Tablica 11

Godišnji tok čestine oblačnosti od 10 pri vetrovima iz raznih pravaca i pri
tišini na osnovu terminskih osmatranja u Beogradu, u procentima

	N	NNE	NE	E	ESE	SE	SSE	S	SSW	SW	WSW	W	WNW	NWW	C		
I	82	92	72	70	61	37	35	28	40	19	59	63	66	61	77	71	57
II	59	71	64	33	60	37	25	26	24	18	26	63	62	49	55	50	43
III	47	55	57	50	34	28	30	34	29	15	27	53	45	53	38	37	27
IV	35	36	28	50	35	32	25	31	20	24	40	35	38	41	44	30	20
V	22	15	13	7	16	18	19	29	19	20	26	28	35	22	28	23	15
VI	22	17	20	35	25	5	9	7	8	20	19	11	29	28	26	25	13
VII	13	10	8	—	3	6	4	—	7	7	11	13	22	26	19	13	6
VIII	10	5	11	27	8	6	4	11	16	7	15	25	27	17	21	20	7
IX	29	30	10	—	36	6	9	7	19	29	20	16	42	42	34	27	14
X	55	28	33	71	33	17	16	16	18	11	32	59	49	44	50	32	23
XI	72	47	77	60	48	30	33	31	41	33	38	61	65	56	59	61	46
XII	80	62	70	67	56	47	33	31	34	33	44	56	70	76	77	83	58

Tablica 12

Godišnji tok čestine oblačnosti od 0 pri vetrovima iz raznih pravaca i pri tišini
na osnovu terminskih osmatranja u Beogradu, u procentima

	N	NNE	NE	E	ESE	SE	SSE	S	SSW	SW	WSW	W	WNW	NWW	C		
I	5	—	6	5	14	13	15	14	8	—	15	9	6	5	3	5	17
II	9	5	9	10	13	19	20	14	11	27	13	13	8	10	10	11	26
III	9	14	17	17	22	25	23	13	5	15	11	4	16	7	10	14	33
IV	15	14	22	12	10	20	15	8	16	7	5	9	8	3	6	6	31
V	11	9	11	—	5	8	13	7	16	4	5	7	6	7	5	18	24
VI	6	—	4	—	10	23	25	18	13	8	13	14	7	8	5	4	23
VII	9	—	18	10	36	31	41	26	19	29	14	17	10	7	20	37	37
VIII	20	26	19	18	29	44	46	14	26	29	17	11	14	15	12	19	48
IX	14	25	36	10	24	46	40	30	26	11	11	19	11	6	6	6	42
X	8	21	26	—	19	39	32	26	18	29	14	4	6	14	11	3	34
XI	6	—	—	20	18	22	15	10	6	13	8	6	6	3	4	19	19
XII	7	5	—	—	10	6	12	10	13	11	13	8	5	1	6	17	17

Dalje se iz tablice XXIV vidi, da brojne vrednosti čestina oblačnih stanja kako kod vetrova iz ESE do SE i W do NW pravca tako i kod tišina dosta pravilno opadaju od januara do jula-avgusta, gde imaju svoje minimume, a zatim rastu do decembra, gde imaju maksimalne vrednosti.

Ako se, sa druge strane, uzmu u rasmatranje čestine vedrih stanja za ove iste pravce vetrova i tišine imaćemo vrednosti kao u tablici XXV na strani 56.

Pri košavskom vetrui je veća čestina potpuno vedrog neba, nego pri vetrovima sa zapada do severozapada, a najveća je skoro preko cele godine pri tišinama.

Maksimalni broj čestina vedrih stanja pada na mesec avgust, a minimalni, uglavnom, na decembar, kako kod košavskog, tako i kod vetrova iz W do NW pravca, a i kod tišina.

3. Čestine padanja kiše i snega pri vetrovima iz raznih pravaca i pri tišinama na osnovi terminskih osmatranja

Vredno je izneti još i čestine padanja kiše i snega pri terminskim osmatranjima u vezi sa pojedinim prizemnim pravcima vetra i tišinama. Na taj način dobija se pojam koji vetrovi donose najčešće padavine u pojedinim mesecima. U tablicama 13 i 14 iznete su te čestine kiše i snega za Beograd za isti period vremena od 1920 do 1945 godine.

XXV — Čestina potpuno vedrih stanja pri vetrovima iz ESE do SE i W do NW pravca i pri tišini

Meseci oktanti	I	II	III	IV	V	VI	VII	VIII	IX	X	XI	XII
ESE do SE	14	19	24	17	10	24	36	45	43	35	18	9
W do NW	5	9	11	5	6	7	11	14	8	10	5	5
tišina	17	26	33	31	24	23	37	48	42	34	19	17

Iz godišnjih vrednosti čestina kiše izlazi da ova najčešće pada pri vetrovima od WSW do N pravca, a najmanje pri košavskom vetrusu ESE i SE i pri tišini. Sem toga, kao vetrovi pri kojima dosta često padaju kiše jesu NNE do ENE, ali se uopšte može reći, da u toku godine kiša češće pada pri vetrovima od WSW preko W i N do ENE, a redje pri vetrovima od ESE do S.

Ako uzmemo u obzir čestinu kiše po godišnjim dobima, onda izlazi, da zimi najčešće kišu donosi WSW a zatim S. Ovo nastupa usled dolaska maritimnih i kontinentalnih tropskih vazdušnih masa, koje pri svome upadu u naše krajeve nailaze na hladan, ranije došavši, vazduh i zato su primorane da se uzdižu po klinu hladnog vazduha usled čega dolazi do stvaranja padavina. Zimi kiša dosta često pada i pri NE i E vetrusu, što mislimo, da nastaje iz istih uzroka kao i pri dolasku tropskog vazduha, samo obrnutim redom. Ovde je sada hladan vazduh aktivan i, pri dolasku u topliju oblast, primorava topliji vazduh da se uzdiže uvis usled čega se stvaraju padavine. Najredje kiše padaju pri SSW i ENE vetrusu. Što se tiče SSW vetra mislimo, da je ovde u pitanju dosta topao vazduh (v. tabl. 5) koji ima malu relativnu vlagu (tabl. 7) ne samo u prizemlju, već i na visinama. Tačav vazduh iako se penje po klinu hladnog vazduha, ne može se toliko rashladiti da bi došlo do nekih znatnijih padavina. Kod ENE vetra smatramo, da se radi o fenskom strujanju, što nam potvrđuju i podaci temperature (tabl. 5), te zbog toga su male čestine kiše. Dosta je mala čestina kiše i pri košavskom vetrusu, što je takođe posledica fenskog strujanja. Isto tako kiša retko pada i pri tihom vremenju.

U toku proleća kiša pada najčešće baš pri ENE vetrusu, dosta često pri vetrovima od SW do NNW. Pri južnom vetrusu i tišini kiša pada dosta retko. Uopšte, iz podataka izlazi da vetrovi od SW preko W i N sve do E donose dosta često kišu u Beogradu, a košavski vetar i vetrar sa juga dosta redje. Ovo se dešava iz razloga što tada hladan vazduh, bilo da je maritimni ili kontinentalni, ukoliko duže putuje preko kontinenta utoliko se više danju zagreva od tople podloge, te postaje nestabilan i u njemu se obrazuju padavine. Vetrar sa juga ima suprotno dejstvo, tj. on je topliji od podloge i zato u njemu vlada stabilitet, odnosno nema padavina.

Za vreme leta je najveća čestina kiše pri W do NNW vetrusu, a najmanje pri košavskom vetrusu i vetrovima iz SSE do SW pravca. Vetrovi sa zapada i severozapada spadaju u među najhladnije (tabl. 5) i skoro najvlažnije vetrove (tabl. 7). Jasno je onda, da će se ovaj vazduh pri kretanju preko zagrejanog kopna, zagrijati od podloge i postati nestabilan, tako da će se u njemu stvarati prolazni pljuskovki kiše i olujno stanje (17,80). Mi znamo i iz iskustva, da oluje leti koje prelaze preko Beograda najčešće dolaze sa zapada i severozapada. Za vetrar sa juga važi isto ono što je rečeno za prolećno godišnje doba.

Tablica 13

Godišnji tok čestine kiše pri vetrovima iz raznih pravaca i pri tišini na osnovu terminskih osmatranja u Beogradu, u procencima

	N	NNE	NE	E	ESE	SE	SSE	S	SSW	SW	WSW	W	NNW	NW	C
I	7	9	11	5	10	2	3	—	8	6	7	5	5	3	3
II	2	—	9	—	8	5	2	4	5	—	5	6	5	4	4
III	5	17	17	9	3	7	4	8	3	7	18	10	7	8	4
IV	13	7	8	37	15	7	5	7	4	9	15	9	16	18	8
V	9	9	5	—	5	3	6	13	3	12	10	6	11	6	5
VI	6	6	4	—	7	1	2	3	3	12	6	5	12	5	5
VII	5	4	8	—	3	2	1	—	2	—	4	6	9	11	2
VIII	5	—	5	9	1	—	2	4	6	—	2	7	6	7	4
IX	16	8	7	—	3	1	2	6	4	29	7	3	17	18	4
X	21	21	18	28	13	7	6	5	5	—	7	16	14	12	6
XI	24	17	18	—	6	6	8	11	11	20	11	20	18	8	6
XII	8	5	4	—	5	6	5	16	11	—	5	13	8	4	5
God.	10	8	9	8	7	4	4	6	6	7	7	10	11	9	5
Zima	6	5	8	2	8	4	3	7	8	0	4	10	7	5	4
Proleće	9	7	10	18	10	4	6	8	5	8	11	12	10	13	6
Leto	5	3	6	3	4	4	1	2	2	4	4	6	9	7	4
Jesen	20	15	14	9	7	7	5	7	5	7	12	16	8	13	5

U toku jeseni kiša najčešće pada pri vetrovima iz N pravca. Sedm toga kiša dosta često pada i pri vetrovima iz NNE, NE i SSW pravca, kao i pri vetrovima od WSW do NNW pravca. Najmanja čestina kiše u jesen je pri vetrovima od ENE do S pravca. Dosta velike čestine kiše koje pripadaju vetrovima od W do NNW pravca dobro se podudaraju sa čestinama za iste pravce vetrova u proleće. Ovo nastaje zato što su u toku ova dva godišnja doba slični rasporedi vazdušnog pritiska, odnosno slične izobarske situacije, iznad Srednje Evrope (18,25—25).

Tablica 11

Godišnji tok čestine snega pri vetrovima iz raznih pravaca i pri tišini na osnovi terminskih osmatranja u Beogradu, u procentima

	N	NNE	NE	ENE	E	ESE	SE	SSE	S	SSW	SW	WSW	W	WNW	NW	NNW	C
I	8	13	22	5	8	4	2	1	—	8	5	14	11	26	16	5	
II	22	24	23	4	16	4	2	—	4	9	—	8	11	7	13	16	4
III	16	14	20	—	4	2	1	—	1	—	—	6	6	12	12	4	1
IV	1	—	—	—	1	—	—	—	—	—	—	—	—	3	—	1	
V	—	—	—	—	—	—	—	—	—	—	—	—	—	—	—	—	
VI	—	—	—	—	—	—	—	—	—	—	—	—	—	—	—	—	
VII	—	—	—	—	—	—	—	—	—	—	—	—	—	—	—	—	
VIII	—	—	—	—	—	—	—	—	—	—	—	—	—	—	—	—	
IX	—	—	—	—	—	—	—	—	—	—	—	—	—	—	—	—	
X	—	—	—	—	—	—	—	—	—	—	—	—	—	—	—	—	
XI	3	6	14	10	1	2	2	—	—	3	—	3	3	7	—	1	
XII	24	18	22	7	16	5	3	—	—	15	13	14	22	17	4		

Tablica 15

Godišnji tok čestine magle pri vetrovima iz raznih pravaca i pri tišini na osnovi terminskih osmatranja u Beogradu, u procentima

	N	NNE	NE	ENE	E	ESE	SE	SSE	S	SSW	SW	WSW	W	WNW	NW	NNW	C
I	32	61	11	5	16	3	3	5	6	—	15	16	21	22	20	18	34
II	18	10	11	5	10	1	3	2	3	—	13	19	10	19	2	23	
III	13	—	13	—	1	1	—	—	1	—	3	2	6	2	3	11	
IV	1	2	—	—	—	—	—	—	—	—	—	—	3	1	1	4	
V	.3	—	—	—	—	—	—	1	—	2	1	—	—	1	—	2	
VI	2	—	—	—	—	—	—	—	—	—	—	—	1	—	1	1	
VII	—	—	—	—	—	—	—	—	—	—	—	—	1	—	—	1	
VIII	1	—	2	—	—	—	—	—	—	—	—	4	3	2	1	—	
IX	5	3	5	—	4	—	—	—	—	—	12	4	3	3	1	1	4
X	37	33	18	30	5	3	4	4	5	6	17	17	25	31	20	26	29
XI	27	20	3	21	9	4	4	4	7	—	19	15	18	22	21	28	31
XII	—	—	—	—	—	—	—	—	—	—	—	—	—	—	—	—	

Ako se uzmu globalni zbirovi čestina kiše, bez obzira na pravac vetra tišine, dobije se ovakvi brojevi: zima=92, proleće=161, leto=80 i jesen=185. Prema ovim brojevima vidimo, da kiša najčešće pada, pri terminskim osmatranjima, u jesen a zatim u proleće, dok najredje pada leti pa onda zimi. Uzrok ovakve pojave je u tome, što u jesen obično padaju sipeće dugotrajne kiše, koje najčešće zahvate i terminske časove osmatranje. U proleće imamo česte i kraće prolazne pljuškove, koji se takodje dogadjaju često i pri terminskim (naročito popodnevним) časovima osmatranja. Leti imamo prolazne

pljuskove, koji, iako su česti, padaju obično u kasnijim popodnevniim časovima, te ne zahvate nijedno terminsko osmatranje. Zimu ovde ne možemo upoređivati, jer zimi imamo češće sneg nego kišu.

Čestina padanja snega pri vetrovima iz raznih pravaca i pri tišini izneta je u tablici 14. Iz ove tablice vidimo, da sneg najčešće pada u januaru pri NW vetrui. Isto tako velika je čestina snega i pri NE vetrui. U februaru i martu sneg češće pada pri vetrovima iz oktanta N do NE nego pri vetrovima od W do NNW. Znači, da u ovim mesecima nadiranje hladnog kontinentalnog vazduha sa severoistoka prouzrokuje i često padanje snega. Mesec novembar ima dosta veliku čestinu snega, u terminskim osmatranjima, pri NE i ENE vetrui. Najzad u decembru sneg najviše pada pri vetrovima od N do NE, ali ga ima dosta često i pri vetrovima iz severozapadnog kvadranta. Pada još u oči da sneg dosta često pada pri istočnom vetrui u februaru i decembru.

4. Čestina magle pri vetrovima iz raznih pravaca i pri tišinama na osnovi terminskih osmatranja

Poznato je da se magla najčešće javlja pri tihu vremenu. To je u najviše slučajeva tzv. radijaciona magla, koja nastaje usled hladjenja zemljine površine i vazduha koji leži neposredno iznad nje. Za stvaranje radijacione magle nije naročito pogodno sasvim tih vreme; potrebno je da ipak postoji malo komešanje vazduha, koje pokreće kondenzaciona jezgra i dovodi ih u vezu sa vazdušnim česticama koje su zasićene vodenom parom. Prema tome radijaciona magla postaje i pri slabim vetrovima. Sem radijacionih postoje još i tzv. advektivne magle koje su vezane za horizontalna vazdušna strujanja, a koje se u najviše slučajeva stvaraju u primorskim krajevima. Kao treća vrsta magle su tzv. frontalne magle koje su vezane za vazdušne frontove. Svakako da su u Beogradu najčešće radijacione magle.

Za period 1920 do 1945 godine povedili smo iz publikovanih meteoroloških podataka sve slučajeve kada je osmotrena magla u jednom od terminskih osmatranja, pri različitim pravcima vetra i tišini. Čestina pojave magle pri raznim pravcima vetra i tišini obradjena je na isti način kao i ostale pojave i izneta u tablici 15.

Mi se nećemo upuštati u naročitu analizu ovih čestina, jer su one, kao što smo ranije rekli, u najviše slučajeva radijacione prirode i nemaju mnogo veze sa jole jačim vetrovima.



Kao prilog dodajemo još i tablice A, B, C, D i E u kojima su upisane ekstremne vrednosti pojedinih meteoroloških elemenata po mesecima za period od 1920 do 1945 god. Ispred svake ekstremne vrednosti pojedinih elemenata upisani su još i podaci o pravcu i brzini vetra u tom dotičnom času osmatranja (19,12—14). U tim tablicama su upisani sledeći elementi:

Tablica A. — Maksimalna vrednost temperature vazduha (t_x) sa suvog termometra pročitana u jednom od osmatranja, i ispred nje pravac (d) i brzina vetra (v), u tom istom momentu.

Tablica B. — Minimalna vrednost temperature vazduha (t_m) sa suvog termometra pročitana u jednom od terminskih osmatranja, i ispred nje pravac (d) i brzina vetra (v), u tom istom momentu.

Tablica C. — Maksimalna vrednost napone vodene pare (e_x) u mm izračunata za jedno terminsko osmatranje, i ispred nje pravac (d) i brzina vetra (v), u tom istom momentu.

Tablica D. — Minimalna vrednost napona vodene pare (e_m) u mm izračunata za jedno terminsko osmatranje, i ispred nje pravac (d) i brzina vetra (v), u tom istom momentu.

Tablica E. — Minimalna vrednost relativne vlage (u_m) u % izračunata za jedno terminsko osmatranje, i ispred nje pravac (d) i brzina vetra (v), u tom istom momentu.

U ovim tablicama brzina vetra data je svuda u m/s, a slovo »C« (calme) označava tišinu.

Najviša temperatura za ceo period 1920 do 1945 godine pročitana je 12 avgusta 1921 god. u 14 časova i iznosila je $40,6^{\circ}\text{C}$. Vatra nije bilo, već je vladalo tih vreme.

Najniža temperatura za isti period pročitana je 11 februara 1929 godine u 7 časova i iznosila je $-23,6^{\circ}\text{C}$. Vreme je takodje bilo tih.

Najveći pritisak vodene pare bio je 19 maja 1920 godine u 14 časova pri ESE vetrui brzine 4 m/s, i iznosio je 25,3 mm.

Najmanji pritisak vodene pare bio je 10 februara 1929 godine u 7 časova pri severnom vetrui brzine 2 m/s i iznosio je 0,5 mm.

Najmanja relativna vлага bila je 12 aprila 1921 godine u 14 časova pri zapadnom vetrui brzine 2 m/s i iznosila je 10%.

SADRŽAJ

	Strana
I DEO	
<i>UVOD</i>	
1. Pojam o horizontalnom strujanju vazduha (o vetrui)	3
2. Vazdušne mase (opšti pojmovi)	4
3. Geografska klasifikacija vazdušnih masa	5
4. Brojne vrednosti meteoroloških elemenata pojedinih vazdušnih masa	8
II DEO	
<i>METEOROLOŠKI ELEMENTI</i>	
1. Pravac i brzina vetrova u Beogradu	10
2. Temperatura vazduha	19
3. Pritisak (napon) vodene pare	27
4. Relativna vлага	32
5. Oblačnost	37
6. Uzajamna veza između temperature, vlažnosti vazduha i oblačnosti pri vetrovima iz raznih pravaca i pri tišinama	41
Zaključak	44
III DEO	
<i>METEOROLOŠKE POJAVE PRI VETROVIMA IZ RAZNIH PRAVACA I PRI TIŠINAMA</i>	
1. Čestina veoma vlažnih i veoma suvih stanja u prizemlju pri vetrovima iz raznih pravaca i pri tišinama na osnovi terminskih osmatranja	50
2. Čestine potpuno oblačnih i potpuno vedrih stanja neba, pri vetrovima iz raznih pravaca i pri tišinama na osnovi terminskih osmatranja	52
3. Čestine padanja kiše i snega pri vetrovima iz raznih pravaca i pri tišinama na osnovi terminskih osmatranja	56
4. Čestina magle pri vetrovima iz raznih pravaca i pri tišinama na osnovi terminskih osmatranja	59
PRILOG	
Tablica A. — Maksimalna vrednost temperature vazduha (t_x).	
Tablica B. — Minimalna vrednost temperature vazduha (t_m).	
Tablica C. — Maksimalna vrednost napona vodene pare (e_x).	
Tablica D. — Minimalna vrednost napona vodene pare (e_m).	
Tablica E. — Minimalna vrednost relativne vlage (u_m).	

*A. Vujević P.: Fizike vetrova u Beogradu
Pravila i rezultati po fizičkim*

SPISAK LITERATURE

- ✓ 1. Vujević P.: Meteorologija, Beograd, 1948 godina.
- ✓ 2. Vujević P.: Podneblje Beograda, Beogradske opštinske novine br. 2., 1933 g.
- 3. Vujević P.: O podneblju Hvara, V deo, Karakteristični vetrovi — Glasnik Geografskog društva sv. XVIII, Beograd 1932 g.
- 4. Оболенский В.: Курс метеорологии, Москва—Свердловск 1944 г.
- 5. Хромов С.: Введение в синоптический анализ, Москва 1937 г.
- 6. Hann—Süring: Lehrbuch der Meteorologie, Leipzig 1940.
- ✓ 7. Sinoptička meteorologija — izdanje Komande vazduhoplovstva JA, Zemun, 1947 g.
- 8. Кунц А.: Синоптическая метеорология, Москва 1947 год.
- 9. Helmholtz H.: Ueber atmosphärische Bewegungen, Meteorologische Zeitschrift 1888.
- 10. Margules M.: Über Temperaturschichtung in stationär bewegter und in ruhender Luft, Meteorologische Zeitschrift 1906.
- 11. Bergeron T.: Richtlinien einer dynamischen Klimatologie, Meteorologische Zeitschrift 1930.
- 12. Schinze G.: Die praktische Wetteranalyse, Hamburg 1932.
- ✓ 13. Izveštaj Meteorološke opservatorije u Beogradu, Dnevna posmatranja u Beogradu i godišnji pregledi 1920—1924, 1925—1930, 1931—1935, 1936—1945, Beograd. C
- ✓ 14. Sergijevski Dr. P.: Vetrovi u Beogradu, Beograd 1940 g.
- 15. Réthly A.: Budapest Éghajlatta, Budapest 1947.
- 16. Róna S.: Südungarische Kossava, Meteorologische Zeitschrift, Hann-Band, 1906.
- 17. Habermehl R.: Handbuch der Fliegerwetterkunde — Band I, Berlin 1942.
- ✓ 18. Vemić M.: Glavni vremenski tipovi u našoj zemlji — Glasnik geografskog društva sv. XVIII, Beograd 1932.
- 19. Hofmeister I.: Relative Feuchtigkeit und Windstärke in den einzelnen Windrichtungen für Ostdeutschland, Das Wetter I, 1944, Leipzig.

Dr MARKO MILOSAVLJEVIĆ

RESUMÉ

Les qualités physiques des vents à Belgrade

Pour l'étude des qualités physiques des vents au sol à Belgrade sur le tableau 1 sont représentées les fréquences des directions des vents et des calmes en % pour la période de 1920 à 1945. Sur le tableau 2 se trouvent les valeurs moyennes mensuelles et saisonnières des vitesses des vents en m/s. Le tableau 3 nous représente les moyennes des maxima des vitesses des vents, et le tableau 4 les valeurs maximales absolues des vitesses des vents mensuelles et saisonnières.

Le tableau II nous donne les sommes des fréquences des directions des vents des l'ESE et SE en % qui soufflent à Belgrade le plus souvent en hivers et qui sont connues sous le nom de »cochjava«. Sur le tableau III se trouvent les sommes des fréquences des vents des directions E à SE et W à NW. Sur le diagramme 1 la courbe aa₁ représente le nombre des fréquences des vents de la direction E à SE, et la courbe bb₁ le nombre des fréquences des vents de la direction W à NW.

Le tableau IV contient les vitesses moyennes des vents en m/s de l'octant E à SE et W à NW, tandis que sur le tableau V se trouvent les vitesses moyennes maximales des vents des mêmes octants.

Les fréquences et les vitesses moyennes des vents de chaque direction sont représentées par les diagrammes se trouvant sur les figures 2, 3, 4, 5 et 6 (pour: l'année, l'hivers, le printemps, l'été et l'automne). Les fréquences des vents sont représentées au moyen de la longueur de chaque rayon pour la correspondante direction du vent. Les fréquences des calmes en % sont inscrites dans les petits cercles. Les vitesses des vents pour chaque direction sont tracées dans le prolongement de chaque rayon des fréquences. Les quadrilatères tracés représentent les vitesses des vents dans l'éloignement azimuthal de 22,5°.

Le tableau 5 nous représente les données des températures moyennes pendant les différentes directions des vents. Sur le tableau VI et VII se trouvent les températures moyennes pendant les vents qui soufflent le plus souvent des directions ESE, SE, W et NW. Sur le tableau VIII se trouvent les températures moyennes pendant les vents de la direction E à SE et W à NW et pendant les calmes.

Le tableau IV contient les vitesses moyennes des vents en m/s de l'octant pas compte des directions des vents pour la période de 1920 à 1945. Sur le tableau X se trouve l'oscillation des températures moyennes durant chaque direction de vent et des calmes, des températures normales pour: l'hiver, le printemps, l'été, l'automne et pour l'année.

Les oscillations des températures moyennes pendant chaque direction du vent, de la température normale pour l'hiver, le printemps, l'été, l'automne et l'année se trouvent représentées par les diagrammes sur les figures 7, 8, 9, 10 et 11. Les rayons des cercles sur ces diagrammes représentent les températures normales pour chaque saison et pour l'année ne tenant pas compte de la direction du vent. Les valeurs des températures normales se trouvent dans les cercles correspondants à gauche du centre du cercle. A droite du centre du cercle sont inscrites les températures moyennes qui appartiennent aux calmes.

Les surfaces tracées par + appartiennent aux directions des vents pendant lesquels la température moyenne est plus haute que la température normale, tandis que les surfaces tracées par — appartiennent aux directions des vents avec les températures moyennes plus basses que les températures normales.

Sur le tableau 6 se trouvent les valeurs moyennes de la tension de la vapeur d'eau pendant les vents des différentes directions et des calmes. Le tableau XI et XII contiennent les valeurs moyennes de la tension de la vapeur d'eau pendant les vents les plus fréquents à Belgrade (ESE et SE de même que W et NW). Les valeurs se trouvant sur le tableau XIII représentent les moyennes de la tension de la vapeur d'eau pendant les vents de l'E à SE, de W à NW et pendant les calmes.

Le tableau XIV nous donne les valeurs normales de la tension de la vapeur d'eau ne tenant pas compte de la direction du vent, tandis que le tableau XV représente les oscillations de la tension de la vapeur d'eau pendant les différentes directions des vents et pendant les calmes, des valeurs normales de la tension de la vapeur d'eau. La même chose est représentée par les diagrammes pour les saisons et pour l'année sur les figures 12, 13, 14, 15 et 16 de la même façon comme la température.

Sur le tableau 7 se trouvent les valeurs moyennes de l'humidité relative pendant les vents soufflant de différentes directions et pendant les calmes. Les moyennes de l'humidité relative pour les vents des directions E à SE et W à NW de même que pour les calmes se trouvent sur le tableau XVI. Les valeurs normales de l'humidité relative, ne tenant pas compte de la direction des vents et des calmes, se trouvent sur le tableau XVII, tandis que les oscillations des valeurs normales pour chaque direction du vent et pour les calmes se trouvent sur le tableau XVIII. Ces oscillations sont représentées par les diagrammes 17, 18, 19, 20 et 21 pour les saisons et pour l'année de la même façon, comme les oscillations de la température.

Le tableau 8 contient les valeurs moyennes de la nébulosité en % pendant les vents de différentes directions et pendant les calmes, tandis que sur le tableau XIX se trouvent les valeurs moyennes de la nébulosité pendant les vents des directions E à SE et W à NW, de même que pour les calmes. Sur le tableau XX se trouvent les valeurs normales de la nébulosité en %, et sur le tableau XXI se trouvent les oscillations des valeurs normales pendant les vents de différentes directions et pendant les calmes. Ces données sont représentées par les diagrammes sur les figures 22, 23, 24, 25 et 26.

Pour être en état de représenter les rapports de la température (t), la tension de la vapeur d'eau (e), de l'humidité relative (U) et de la nébulosité (n) en fonction de la direction du vent et du calme, on a construit les dia-

grammes (figures 27, 28, 29 et 30) pour l'hiver, le printemps, l'été et l'automne. Les courbes sur ces diagrammes montrent les évidentes qualités physiques des différents vents à Belgrade.

Dans la troisième partie de cet étude se trouvent les apparitions météorologiques pendant les vents des différentes directions et pendant les calmes. Au premier plan sur le tableau 9 se trouvent les fréquences de l'humidité relative > 90% pendant les vents des différentes directions et pendant les calmes au moment des heures de l'observation, tandis que sur le tableau 10 se trouvent les fréquences de l'humidité relative < 30%.

Sur le tableau XXIII se trouvent les fréquences de l'humidité relative > 90% pendant les vents de la direction E à SE et W à NW et pendant les calmes.

Sur le tableau 11 se trouvent les fréquences du ciel couvert pendant les différents vents et pendant les calmes, aussi dans les heures des observations. Sur le tableau 12 sont exposées à la même façon les fréquences du ciel serein. Sur le tableau XXIV se trouvent les fréquences du ciel complètement couvert pendant les vents de la direction ESE et SE, W à NW. Le tableau XXV donne les fréquences d'un ciel tout à fait serein pour les mêmes vents.

Sur le tableau 13 se trouvent les fréquences de l'apparition de la pluie pendant les vents de différentes directions et pendant les calmes durant les heures de l'observation. Sur le tableau 14 sont représentées de la même façon les fréquences de la neige. Sur le tableau 15 sont représentées les fréquences de la brume.

A la fin de l'étude sont ajoutés les tableaux A, B, C, et D dans lesquels sont inscrites les valeurs extrêmes des différents éléments météorologiques de la marche annuelle dans la période de 1920 à 1945. Devant chaque valeur extrême des éléments météorologiques se trouvent les données de la direction et vitesse du vent dans l'heure de l'observation.

Le tableau A contient les maxima et le tableau B les minima des températures (t_x et t_m).

Sur le tableau C se trouvent les maxima de la tension de la vapeur d'eau, et sur le tableau D les minima de la tension de la vapeur d'eau.

Le tableau E nous donne les valeurs minimales de l'humidité relative (U_m).

